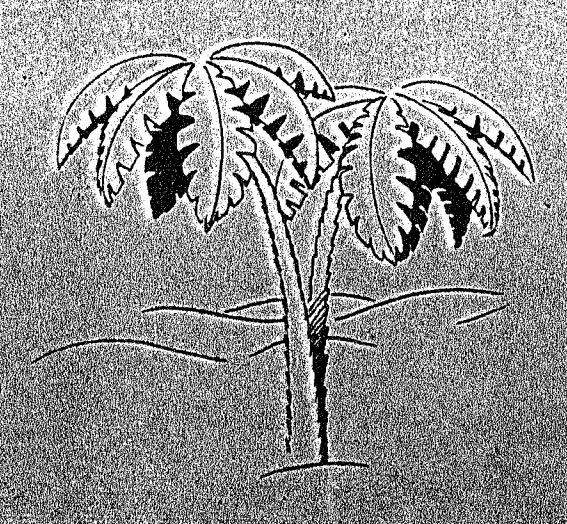


# Fascicule



PENSEES DE SAGES

Problèmes d'évolution,

non

Linéaires

Séminaire de Nice

1974 ~ 1975

1975 ~ 1976

### TABLE DES MATIERES

Exposé n° 15		P	1	à	37	A. CHENCINER  Aspects géométriques de l'étude des chocs dans les lois de conservation
Exposé n° 16		Р.	- 1	à	20	M. ZERNER Sur une inégalité de Poincaré
Exposé n° 17 Exposé n° 18	•	P.		à	10 8	C. BARDOS, P. PENEL, U. FRISCH and P.L. SULEM  Modified dissipativity for a non linear evolution equation arising in turbulence
Exposé n° 19		Ρ.	1	â	10	J. P. KAHANE  Mesures et dimensions
Exposé n° 20		P.	1	à	13	John M. CHADAM  The classical equations of quantum field theory
Exposé n° 21		Ρ.	1	à	Q.	John M. CHADAM  Time dependent hartree-fock equations

#### A. CHENCINER

barden if the

ASPECTS GEOVETRIQUES DE L'ETUDE DES CHOCS DANS LES LOIS DE CONSERVATION

## I - INTRODUCTION

Nous étudierons essentiellement le problème de Cauchy pour une équation hyperbolique quasilinéaire à une variable d'espace : il s'agit de déterminer u(x,t) pour  $x\in R$ ,  $t\in R^+$ , vérifiant

(E) 
$$\begin{cases} (1) & \frac{\partial u}{\partial t} + \alpha(u) \frac{\partial u}{\partial x} = 0 \\ (2) & u(x,0) = \varphi(x) \end{cases}$$

Pour les motivations, voir l'exposé n°1 de C. Bardos [1] et surtout la remarquable mise au point de Gelfand [3].

La généralisation ou cos do plusieurs variables d'espace est bien comprise grâce au travail de Kruckov (voir les exposés n° 6,7,8 de C. Bardos[1]); par contre, le cas des systèmes est beaucoup plus coriece.

La but des exposés est evant tout de comprendre la relation entre la "complexité" de la fonction e(u) (par exemple nombre et nature de ses points critiques si elle est suffisemment dérivable) et la "complexité" de la solution de (É) (structure générique des chocs en particulier).

Par exemple, si  $a(u)\equiv a$  est une constante, l'équation (1) est linéaire et les solutions de  $(\mathcal{E})$  s'écrivent

$$u(x,t) = \varphi(x-at)$$

la donnée initiale se propage sens se déformer à la vitesse a, ce qui revient à dire que u reste constante sur les caractéristiques (d'équation  $(x-x_0) = a(t-t_0)$ ); en

particulier, une discontinuité de  $\varphi$  (ou de  $\frac{\partial \varphi}{\partial x}$ ) se propage le long des caractéristiques de l'équation (1).

Si a(u) est linéaire on retrouve l'équation étudiée dans l'exposé n° 1 [1] (limite de l'équation de Burgers lorsque la viscosité est nulle); même si  $\varphi$  est très régulière. (É) n'a pas de solution régulière sur R x R<sup>+</sup> tout entier : il apparaît des discontinuités (chocs) qui ne se propagent pas le long des caractéristiques de (1).

Ce cas est cependant encore assez simple: le théorème de Lax [7] ramène la résolution de (6) (mis sous forme "conservative", voir plus loin) à la recherche des minima absolus d'une famille de fonctions de u paramétrées par t et x'; on en déduit (Golubitsky et Schaeffer [4], [11]) la structure des chocs pour "presque toute" donnée initiale paramétrées.

Si a(u) est quelconque, la situation est encore plus complime.

ainsi que nous le constaterons sur des exemples ; pour une description

de ce qui peut arriver génériquement, voir Guckenneimer [5].

#### II.1. PROBLEME DE CAUCHY LOCAL :

Si une fonction u(x,t) dérivable dans un ouvert  $\Omega$  de  $R \times R^+$  vérifie (1) dans cet ouvert, le graphe de u dans  $\Omega$  est une surface réglée dont les génératrices sont des droites de la forme  $u = u_0$ ,  $x - x_0 = a(u_0)(t-t_0)$ ; en effet, on vérifie immédiatement que u est constante le long des courbes intégrales dans  $\Omega$  de l'équation différentielle  $\frac{dx}{dt} = a(u(x,t))$ .

En particulier, s'il existe un voisinage ouvert  $\Omega$  de R x{0} dans R x  $\mathbb{R}^+$  sur lequel  $(\mathcal{E})$  admet une solution dérivable, le graphe de cette solution est la partie située au-dessus de  $\Omega$  de la surface (S)  $\subset$  RxRxR $^+$  d'équation

(3) 
$$S(x,t,u) = \varphi(x - a(u)t) - u = 0$$

Si 
$$\varphi$$
 et a sont dérivables,  $\frac{\partial S}{\partial u}(x,t,u) = -ta'(u)\varphi'(x-a(u)t) - 1$ 

Si de plus  $\varphi$  est bornée, il en est de même de u, donc de a'(u), ce qui montre (thiorème des fonctions implicites) l'existence d'un temps  $t_0 \neq 0$  tel que la partie de (S) au-dessus de R x  $[0,t_0[$  soit un graphe : il y a donc existence et unicité d'une solution dérivable de (É) pour tout temps  $t < t_0$ .

La projection (K) sur le plan (x,t) de la courbe ( $\Sigma$ ) d'équations (4)  $\begin{cases} S(x,t,u) = 0 \\ \frac{\partial S}{\partial u}(x,t,u) = 0 \end{cases}$ 

est le contour apparent de (S) sur le plan  $\{x,t\}$ ; c'est aussi l'enveloppe de la famille des droites d'équation  $x-x_0=a(\phi\{x_0\})t$ , paramétrées par  $x_0\in\mathbb{R}$  (figure 1).

Une équation paramétrique de (K) est donc

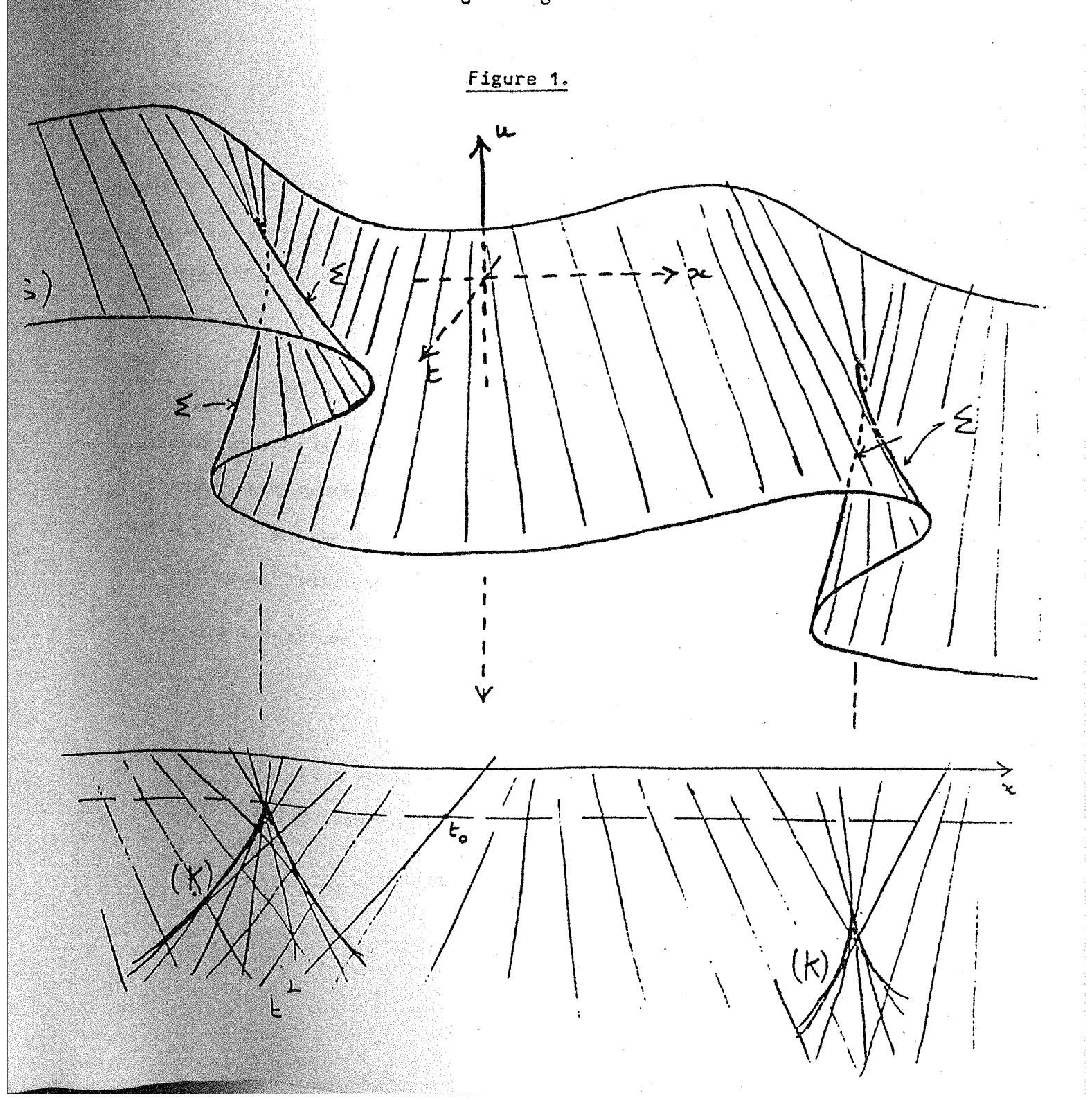
(5) 
$$\begin{cases} t = \frac{-1}{a'(\varphi(x_0)) - \varphi'(x_0)} \\ x = x_0 - \frac{a(\varphi(x_0))}{a'(\varphi(x_0)) - \varphi'(x_0)} \end{cases}$$

Les points singuliers de (K) (éventuelles origines d'un choc) sont les points de la forme ci- dessustels que

(6) 
$$\sigma(x_0) \equiv a''(\varphi(x_0))(\varphi'(x_0))^2 + a'(\varphi(x_0)) \varphi''(x_0) = 0$$

Le temps  $t_0$  maximum pour lequel il existe une solution dérivable de (É) sur R x  $[0,t_0[$  est donc

(7) 
$$t_0 = \inf \left\{ \frac{-1}{a'(\varphi(x_0))\varphi'(x_0)} > 0, x_0 \in \mathbb{R}, \sigma(x_0) = 0 \right\}.$$



#### REMARQUE :

Même si (S) n'est pas un graphe, elle peut apparaître comme une solution généralisée de  $(\mathcal{E})$  de la manière suivante : au lieu de chercher u=u(x,t), on cherche z(x,t,u) qui s'annule si u est solution de  $(\mathcal{E})$ ; on est amenés à résoudre

$$\begin{cases}
\frac{\partial z}{\partial t} + a(u) \frac{\partial z}{\partial x} = 0 \\
z(x,0,u) = \varphi(x) - u
\end{cases}$$

L'unique solution de cette équation linéaire est bien entendu  $z(x,t,u) = \varphi(x-a(u)t) - u$ 

#### II.2. PROBLEME DE CAUCHY GLOBAL ; CONDITIONS DE SAUT ;

Ce qui précède nous amène ă chercher des solutions de  $(\mathcal{E})$  sur  $R \times R^+$  ayant certaines discontinuités (chocs). Le produit de deux distributions n'étant pas toujours défini, la notion de solution au sens des distributions n'est à priori pas définie pour une équation non linéaire. On s'en tire dans le cas présent en écrivant  $(\mathcal{E})$  sous la forme

$$(\mathcal{E}') \begin{cases} (1') & \frac{\partial u}{\partial t} + \frac{\partial}{\partial x} f(u) = 0 \text{ (forme conservative de (1))} \\ (2) & u(x,0) = \varphi(x) \end{cases}$$

et en l'interprétant de la manière suivante :

$$\forall g : \mathbb{R} \times \mathbb{R}^+ \longrightarrow \mathbb{R}, \mathbb{C} \overset{\infty}{\text{a support compact}},$$

$$\int_{\mathbb{R} \times \mathbb{R}^+} \left( \frac{\partial u}{\partial t} (x, t) + \frac{\partial}{\partial x} f(u(x, t)) \right) g(x, t) dx dt = 0,$$

c'est à dire

(8) 
$$\int_{\mathbb{R}\times\mathbb{R}^+} \left(u(x,t) \frac{\partial g}{\partial t}(x,t) + f(u(x,t)) \frac{\partial g}{\partial x}(x,t)\right) dx dt + \int_{\mathbb{R}} u(x,0)g(x,0)dx = 0$$

On peut aussi introduire la 1-forme différentielle  $\omega(x,t,u) = udx - f(u)dt$ 

et remarquer que si i :  $\mathbb{R} \times \mathbb{R}^+ \longrightarrow \mathbb{R}^3$ , défini par i(x,t) = (x,t,u(x,t), est le graphe d'une solution dérivable de (1'), on a d(i $^*$ m) = i $^*$  dm = N.

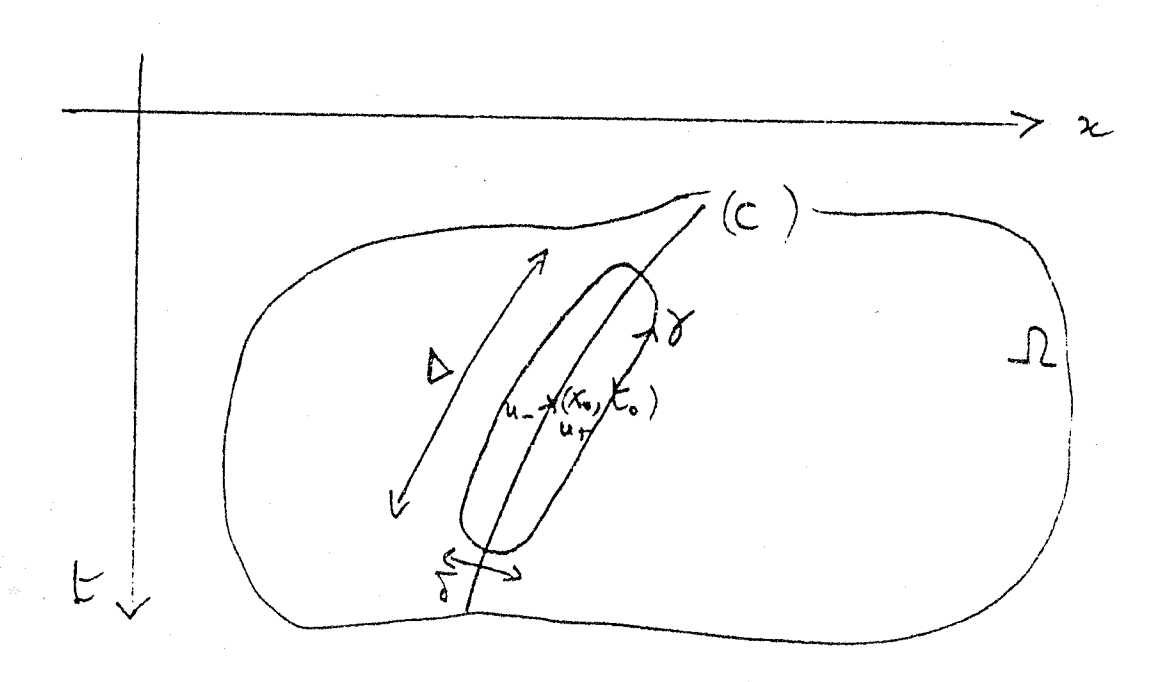
On peut alors montrar que u = u(x,t) est solution de (1') au sens des distributions (on dit aussi solution faible) si et seulement si (9)  $\forall X$  lacet dérivable par morceaux dans  $\mathbb{R} \times \mathbb{R}^+$ ,  $\int_{X} i^* \omega = 0$ .

Ce nouveau point de vue rend très intuitive la démonstration des conditions de saut de Rankine-Hugoniot (voir Gelfand [3] ) :

Soit (C) un segment de courbe régulière dans  $\mathbb{R} \times \mathbb{R}^+$ ; soit  $(x_0,t_0) \in (\mathbb{C})$ ; on suppose qu'une solution faible u=u(x,t) de (1') est définie dans un voisinage  $\Omega$  de  $(x_0,t_0)$ , et continue dans le complémentaire de (C); on suppose de plus que les limites de u(x,t) lorsque (x,t) tend vers  $(x_0,t_0)$  d'un côté ou l'autre de (C) existent et valent respectivement  $u_-$  et  $u_+$  (supposés distincts); alors la pente de (C) en  $(x_0,t_0)$  vérifie

(R.H.) 
$$\frac{dx}{dt} (x_0, t_0) = \frac{f(u_+) - f(u_-)}{u_+ - u_-}$$

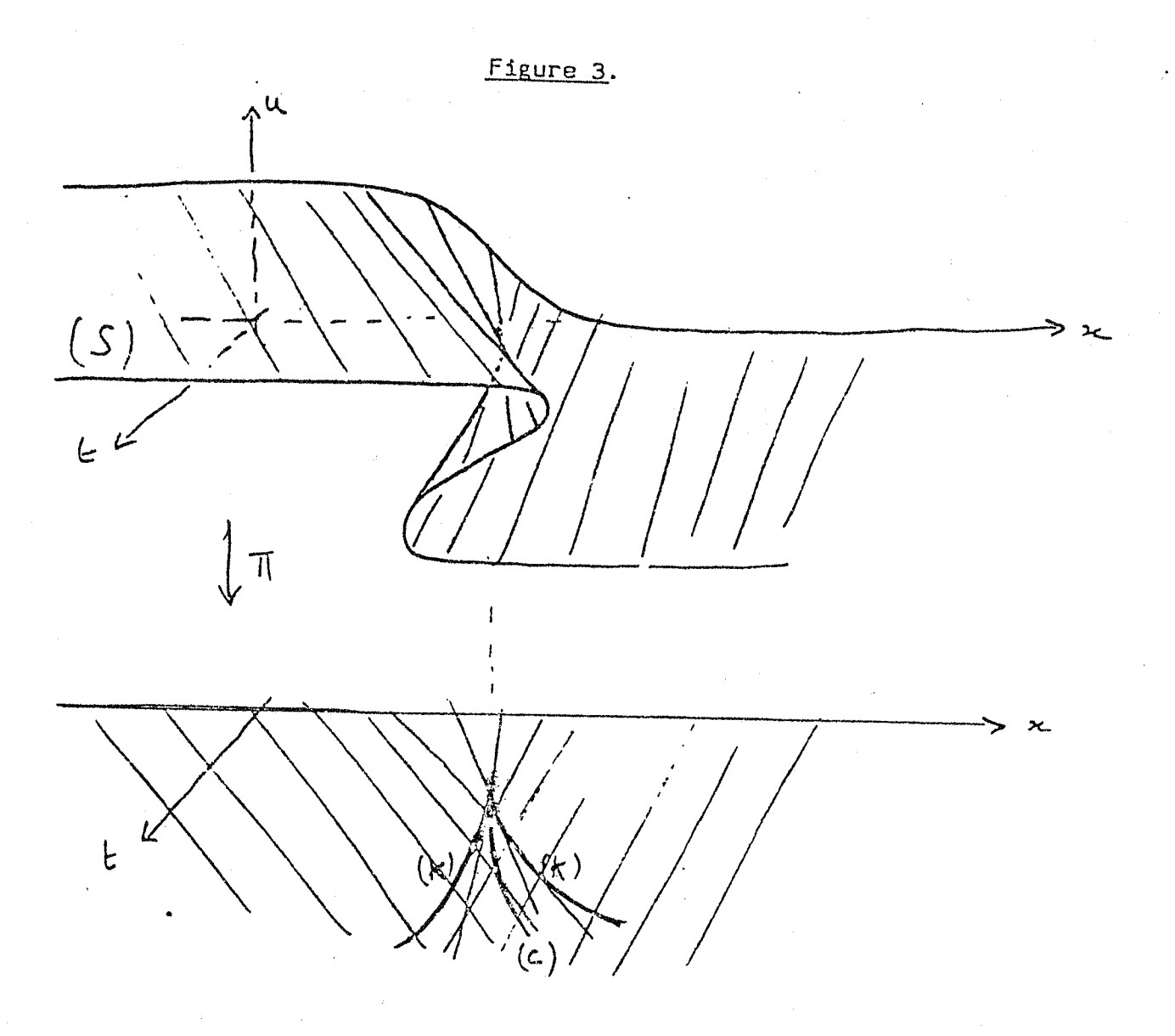
Figure 2.



La démonstration revient à écrire  $\int_{\xi}^{i^*\omega} = 0$  pour un lacet comme celui tracé sur la figure 2, puis à faire tendre  $\xi$  vers le point  $(x_0,t_0)$  tout en s'arrangeant pour faire tendre vers zéro le rapport  $\frac{\delta}{\Delta}$  (voir figure 2).

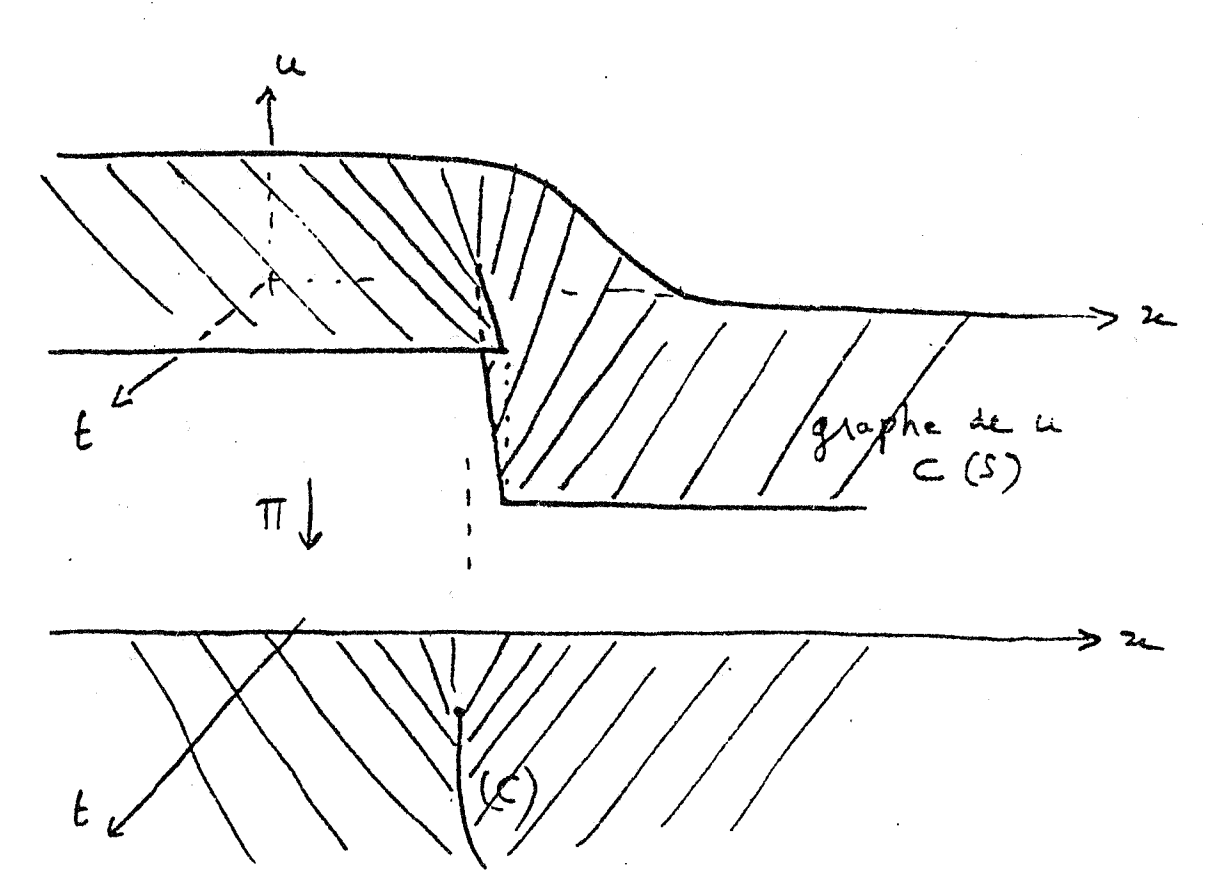
L'exemple qui suit semble montrer qu'étant donnée une fonction  $\phi$  assez régulière. (É') admet une unique solution dérivable dans le complémentaire de certaines courbes de choc, et vérifiant (R.H.) sur la partie non singulière de ces courbes : nous verrons cependant qu'il en est rien.

Exemple :  $f(u) = \frac{u^2}{2}$  ,  $\varphi(x)$  décroissante.



On peut voir que pour "presque toute"  $\varphi$  décroissante la condition (R.H.) définit une unique courbe (C) difféomorphe à une demi-droite; on obtient donc une solution faible de ( $\mathfrak E$ ) dont le graphe est contenu dans (S) et dont les seules discontinuités se produisent le long de (C) (voir figure 4).

Figure 4.



#### REMARQUES :

On voit sur ce type d'exemples que les discontinuités de  $\varphi$  ne se propagent pas en général suivant les caractéristiques (droites d'équation x-x<sub>0</sub> = f'(u)(t-t<sub>0</sub>), u fixé);

Par contre, les discontinuités de  $\frac{\partial \phi}{\partial x}$  se propagent suivant les caractéristiques : on peut le voir par un raisonnement analogue à celui qui fournit (R.H.) (passage à la limite lorsque  $u_+,u_- \to u$ ), ou bien directement en écrivant que de part et d'autre d'une ligne de discontinuité de  $\frac{\partial u}{\partial x}$ , les accroissements infinitésimaux de u sont les mêmes (continuité de u).

Tout ce qui précède se généralise immédiatement aux équations  $\frac{\partial}{\partial t}$  g(u) +  $\frac{\partial}{\partial x}$  f(u) = 0 ; l'exemple suivant (Gelfand [3] ) montre que deux équations de ce type ayant les mêmes solutions  $\mathbb{C}^1$  n'ont pas forcément les mêmes solutions faibles :

(i) 
$$\frac{\partial u}{\partial t} + \frac{\partial}{\partial x} \left(\frac{u^2}{2}\right) = 0$$
, (ii)  $\frac{\partial}{\partial t} \left(\frac{u^2}{2}\right) + \frac{\partial}{\partial x} \left(\frac{u^3}{3}\right) = 0$ 

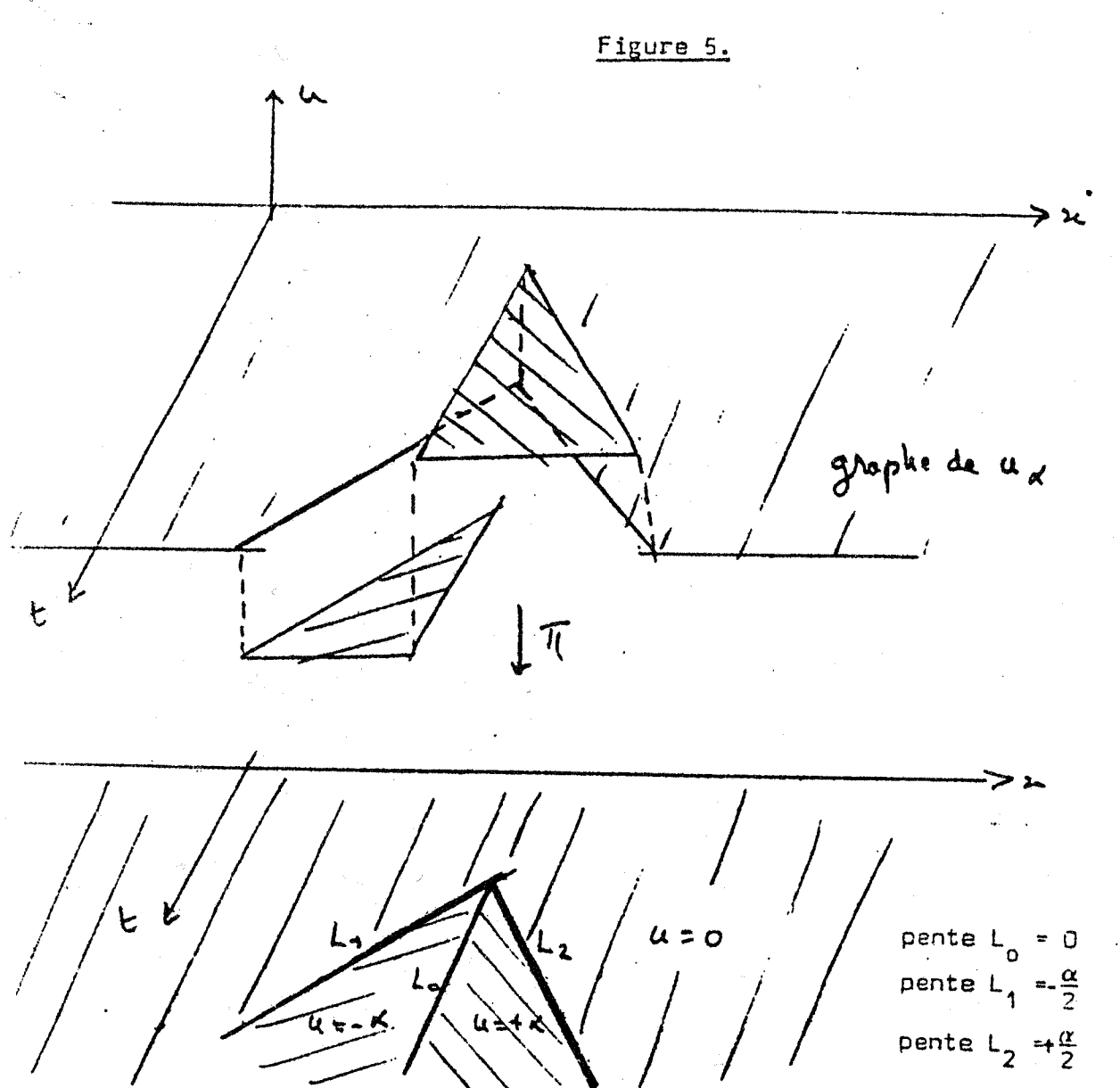
en effet, la condition (R.H.) s'écrit suivant les cas (i)  $\frac{dx}{dt} (x_0, t_0) = \frac{1}{2} \frac{u_+^2 - u_-^2}{u_+^2 - u_-^2}$ , (ii)  $\frac{dx}{dt} (x_0, t_0) = \frac{2}{3} \frac{u_+^3 - u_-^3}{u_+^2 - u_-^2}$ 

Le modelage de l'équation a donc une importance décisive.
mais ceci est du ressort des physiciens.

3 Enfin, la condition (R.H.) ne suffit pas à assurer l'unicité de la solution de  $(\mathcal{E}')$  (si elle existe) : la notion de solution faible n'est donc pas assez restrictive ; voici un exemple suggestif tiré de L. Brun [2] :

Il existe une infinité de solutions faibles de l'équation  $\frac{\partial u}{\partial t} + \frac{\partial}{\partial x} \cdot (\frac{u^2}{2}) = 0 \text{ telles que } u(x,0) \equiv 0 \text{ ; un exemple d'une telle solution}$  non triviale  $u_{\alpha}$  est donné sur la figure 5 (  $\alpha$  est un paramètre réel arbitraire).

En changeant la donnée initiale, on peut construire d'autres exemples (Lax [6] ).



Il faut donc une condition supplémentaire pour sélectionner la solution "physique" (hum !). Dans le cas présent, les solutions du type  $u_{\alpha}$ ,  $\alpha \neq 0$  sont éliminées par des considérations de stabilité (voir plus loin).

Remarquons que si  $\alpha \neq 0$ , le graphe de  $u_{\alpha}$  n'est pas contenu dans (S) ; en fait, dès qu'il existe une composante connexe de l'ensemble des points de continuité de u ne contenant aucun point (x,0), il est à priori possible que le graphe de u ne soit pas contenu dans (S) ;

Ce phénomène se produira effectivement pour la solution de (&) que nous allons sélectionner, sauf dans le cas où f"(u) ne s'annule jamais.

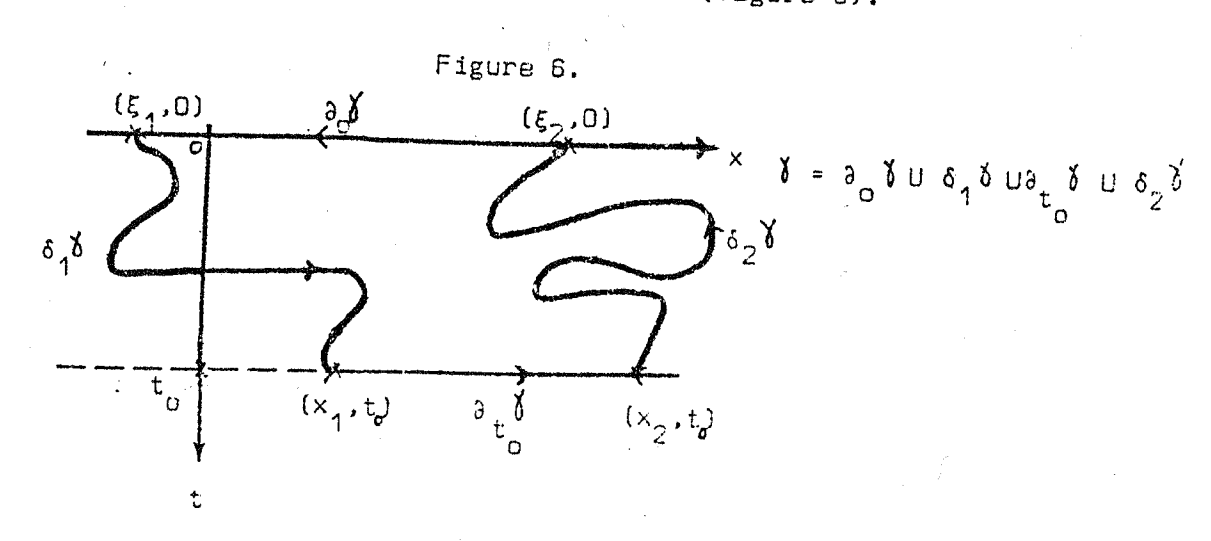
## 3. UNICITE ET STABILITE ; LES CONDITIONS D'ENTROPIE

Suivant Oleīnik [9] , remarquons qu'un théorème d'unicité pour  $(\mathcal{E}')$  découle immédiatement de l'existence de majorations du type suivant :

 $\forall u, v \text{ solutions de (1'), } \forall x_1, x_2 \in \mathbb{R}, \forall t_0 \in \mathbb{R}^+, \forall \epsilon > 0$ , il existe  $\xi_1$ ,  $\xi_2 \in \mathbb{R}$  tels que  $\int_{x_{1}}^{x_{2}} \left(u(x,t_{0}) - v(x,t_{0})\right) dx - \int_{\xi_{x}}^{\xi_{2}} \left(u(x,0) - v(x,0)\right) dx \leq \varepsilon$ 

Bien entendu, une telle inégalité sur R entier serait insuffisente puisqu'on intègre u-v et non pas |u-v|.

Pour obtenir (10), on écrit (8)  $\int_X i^*\omega = 0$  pour u et v, en choisissant le lacet (astucieusement (figure 5).



(10)

Il vient par différence (avec un léger abus de notation)  $\int_{X} (u-v) \ dx - \{f(u) - f(v)\} \ dt = 0$ 

c'est-à-dire

(11) 
$$\int_{x_{1}}^{x_{2}} \{u(x,t_{0}) - v(x,t_{0})\} dx - \int_{\xi_{1}}^{\xi_{2}} \{u(x,0) - v(x,0)\} dx$$

$$= \int_{\delta_{1}}^{x} \{u-v\} dx - \{f(u) - f(v)\} dt + \int_{\delta_{2}}^{x} \{u-v\} dx - \{f(u)-f(v)\} dt$$

L'idée d'Oleïnik est de choisir  $\delta_1 \ \delta_2 \ \delta_2 \ \delta_3 \$  solutions de l'équation différentielle

(12) 
$$\frac{dx}{dt} = \frac{f(u(x,t)) - f(v(x,t))}{u(x,t) - v(x,t)}$$

dans un ouvert  $\Omega$  où u(x,t) - v(x,t) est différent de 0 et dérivable (si f est 2 fois dérivable, on peut aussi prolonger par  $\frac{dx}{dt}$  = f'(u(x,t)).

Pour majorer les contributions au second membre de (11) venant du complémentaire de  $\Omega$ , on est amenés à faire l'hypothèse suivante :

(\*\*)

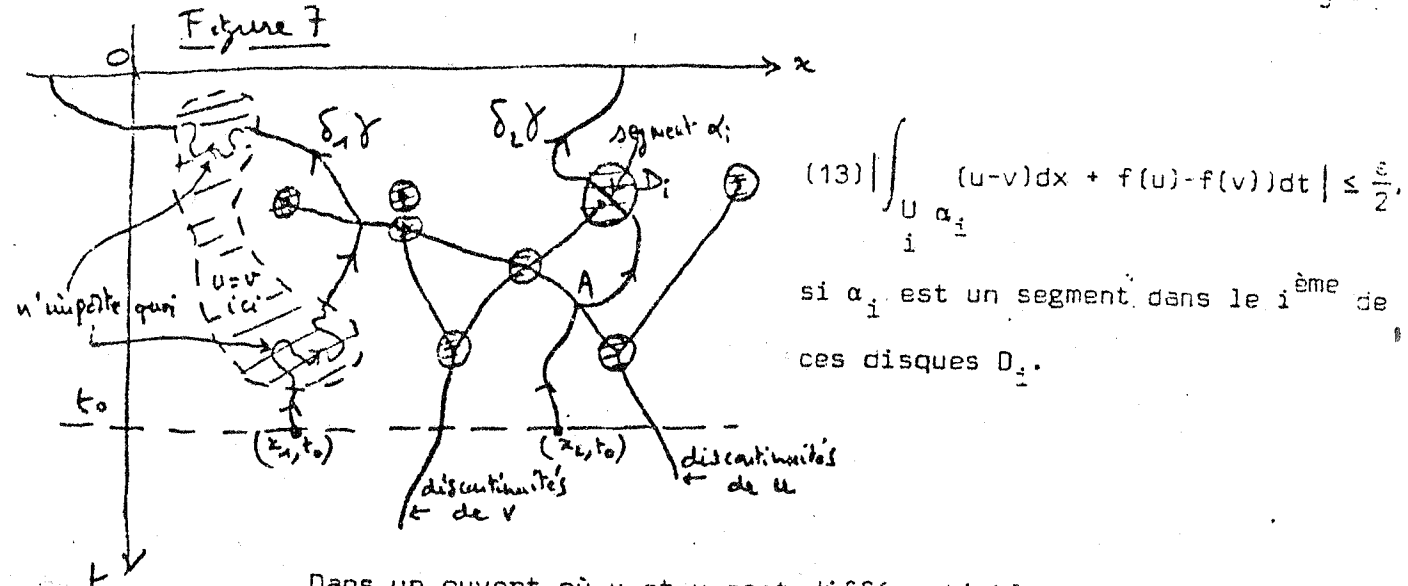
La solution u (resp. v) est dérivable en dehors d'un nombre fini de points et d'un nombre fini de courbes régulières ;

en chaque point (sauf éventuellement un nombre fini)

d'une de ses courbes de discontinuité, u (resp. v) admet des limites u\_,u\_ (resp. v,v\_) de part et d'autre de la courbe.

Commençons de plus par supposer que l'intersection des courbes de discontinuité de u avec celles de v est réduite à un nombre fini de points.

On entoure chacun de ces points ainsi que les points exceptionnels mentionnés ci-dessus d'un disque assez petit pour avoir une majoration



Dans un ouvert où u et v sont différentiables, les courbes intégrales de (12) sont des graphes de fonctions x(t);

Si on ne rencontre pas de discontinuité de u ou v, on peut donc joindre la droite  $t=t_0$  à la droite t=0 par une telle courbe intégrale. Si on rencontre un des disques  $D_{\underline{i}}$ , on prolonge la courbe intégrale par un segment  $\alpha_{\underline{i}} \subset D_{\underline{i}}$ , et on continue (voir figure 7).

Les problèmes commençent lorsqu'on rencontre un point où par exemple v est continue et u discontinue (le point A de la figure 7) : une façon d'être sûr que l'on peut atteindre t=D par des morceaux de courbe intégrale de (12) est d'éviter la situation représentée sur la figure 8, qui correspond (via (R.H.)) à

Figure 8.

(14)  $\frac{f(u_{-}) - f(v)}{u_{-} - v} < \frac{f(u_{-}) - f(u_{+})}{u_{-} - u_{+}} < \frac{f(u_{+}) - f(u_{+})}{u_{+} - v}$ (au point A).

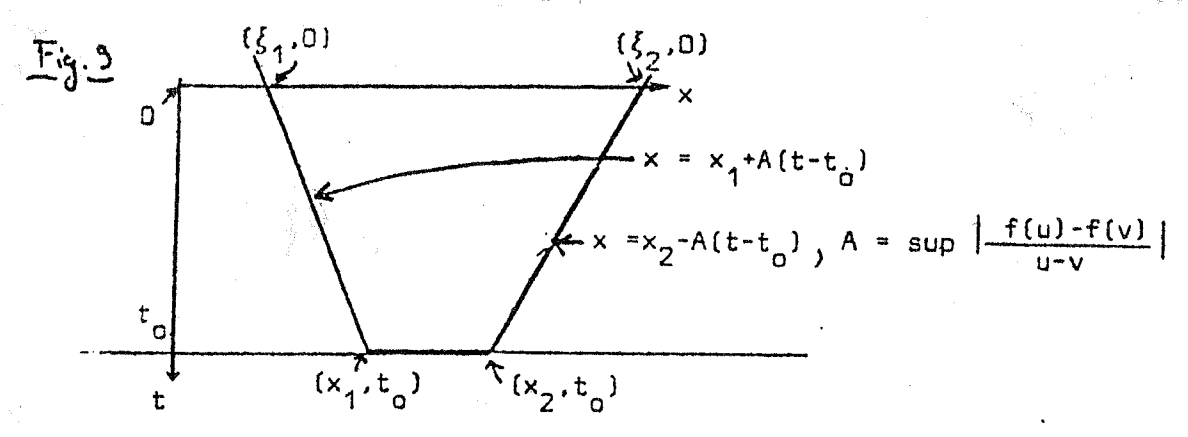
Il est donc naturel d'introduire la condition suivante, dite conditic d'entropie d'Oleïnik, qui évite exactement cette situation :

(E) Si  $u_{+} < u_{-}$  (resp.  $u_{-} < u_{+}$ ) le graphe de f est au-dessous (resp. au-dessus) du segment joignant les points ( $u_{-}$ , f( $u_{-}$ )) et ( $u_{+}$ , f( $u_{+}$ )).

Gi (E) est vérifiée par u(resp. v) en tous ses points de discontinuité (sauf éventuellement un nombre fini)  $^{(x)}$ , et si les hypothèses qui précédent sont satisfaites, il n'y a plus d'obstruction à construire  $^{(x)}$  et  $^{(x)}$  de façon que le second membre de (11) soit majoré par  $^{(x)}$  ce qui démontre (10) pour des solutions u et v vérifiant  $^{(x)}$  (il fauerait en fait traiter aussi le cas où l'intersection des courbes de discontinuités de u et de v n'est pas finie : on s'en tire en remplaçant u et v par des solutions approchées  $^{(x)}$  et  $^{(x)}$  pour lesquelles cette intersection est finie (voir JleInik [9]).

#### REMARQUES :

On déduit de ce qui précède que si u,v sont deux solutions raibles de (1') vérifiant (%) et (E), on a u(x,t<sub>0</sub>) = v(x,t<sub>0</sub>) pour tout point (x,t<sub>0</sub>) de continuité de u et v tel que  $x_1 \le x \le x_2$  dès que u(x,0) = v(x,0) pour tout point (x,0) de continuité de u et v tel que  $\xi_1 \le x \le \xi_2$ , où  $\xi_1$  et  $\xi_2$  sont définis sur la figure 9 :



(Comparer à la proposition 3 de l'exposé n° 8 [1] : vitesse finie de propagation).

(\*) par abus de langage nous dirons simplement dans ce cas que u(resp.v)
 vérifie (E).

22 July 1

(E) implique en particulier la condition (équivalente à (E) si :

(E') 
$$f'(u_{+}) \leq \frac{f(u_{-}) - f(u_{+})}{u_{-}u_{+}} \leq f'(u_{-})$$
 (si  $u_{+} < u_{-}$ )

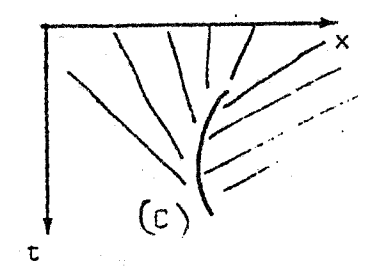
(forme infinitésimale de la condition au voisinage de  $\mathbf{u}_{\perp}$  et  $\mathbf{u}_{\downarrow}$ ).

Il est clair que la démonstration précédente s'applique avec (E') à la place de (E) si on suppose v proche de u, ce qui démontre la <u>stabilité</u> de solutions vérifient  $(\mathcal{H})$  et (E') (donc à fortiori  $(\mathcal{H})$  et (E)).

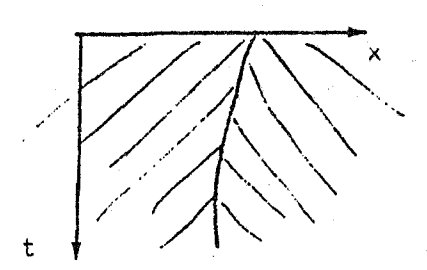
(E') exprime que les caractéristiques de l'équation (1') "rentrent" dans les courbes de discontinuité de u au cours du temps (figure 10)

Figure 10.

(E') věrifié



E' violé



On peut voir directement Gelfand  $\begin{bmatrix} 3 \end{bmatrix}$  ) que (E') entraine la stabilité des solutions de (1') du type

$$\begin{cases} u(x,t) = u_{-} \sin x - ct < 0 \\ u(x,t) = u_{+} \sin x - ct > 0 \end{cases} \text{ (avec } c = \frac{f(u_{+}) - f(u_{-})}{u_{+} - u_{-}} \text{)}$$

En effet, si u+v est une solution de (1') proche de u, on a en première approximation, pour v petit,

$$\frac{\partial v}{\partial t} + a \frac{\partial v}{\partial x} = 0, \quad \text{où} \quad \begin{cases} a = f'(u_{\perp}) & \text{si } x \text{-ct} < 0 \\ a = f'(u_{\perp}) & \text{si } x \text{-ct} > 0 \end{cases}$$

cont la solution est

v constante sur les caractéristiques de pente f'(u\_) si x-ct < 0 v constante sur les caractéristiques de pente f' $(u_{\downarrow})$  si x-ct > 0

Si u vérifie (E'), et si v(x,0) tend vers 0 lorsque  $|x| \longrightarrow +\infty$ , il est clair que v(x,t) tend vers 0 uniformément en x lorsque  $t \longrightarrow +\infty$ .

3) Une solution u de (1') vérifient (X) vérifie (R.H.) et (E) le long d'une courbe lisse de discontinuité si et seulement si elle vérifie l'inégalité de Kruckov ci-cessous (voir exposé n° 5 [1] ) :

$$\left\{ \begin{array}{l} \forall k \in \mathbb{R}, & \text{signe } (u_+^- k) \times \upsilon \left[ (u_+^- k) \frac{\partial}{\partial t} + (f(u_+^-) - f(k)) \frac{\partial}{\partial x} \right] \\ \leq & \text{signe } (u_-^- k) \times \upsilon \left[ (u_-^- k) \frac{\partial}{\partial t} + (f(u_-^-) - f(k)) \frac{\partial}{\partial x} \right]. \end{array} \right.$$

 $\upsilon$  est la 1-forme dH, H(x,t) étant une équation de la courbe de discontinuité considérée qui vérifie

- 1) dH ≠ 0
  2) H croit en passant du côté u\_ au côté u\_.

 $\frac{\partial}{\partial t}$  et  $\frac{\partial}{\partial x}$  sont les champs de vecteurs standard du plan (x,t).

Ceci conduit à une définition plus restrictive de la notion de solution faible de (1'), où l'égalité (8) est remplacée par une famille d'inégalités (exposé n°6, définition 1 [1]).

Le théorème d'unicité pour ces solutions faibles est démontré dans l'exposé n° 8 [1] .

4 La démonstration géométrique d'OleInik s'éclaire si on trans-

115) 
$$\iint_{\mathbb{R}\times\mathbb{R}^+} \left[ \frac{\partial g}{\partial t} \cdot (u - v) + \frac{\partial g}{\partial x} \cdot (f(u) - f(v)) \right] dx dt = 0$$

Posons 
$$F(x,t) == \frac{f(u(x,t)) - f(v(x,t))}{u(x,t) - v(x,t)}$$
 (discontinu :)

(15) devient

(16) 
$$\iint_{\mathbb{R}\times\mathbb{R}^+} \left[ \frac{\partial g}{\partial t} + F \cdot \frac{\partial g}{\partial x} \right] (u-v) dx dt = 0$$

Four montrer que u=v presque partout dans un domaine D du plan tel que D  $\cap$  (t=0)  $\subset$   $\left[\xi_1,\xi_2\right]$  , il suffit de montrer que  $\forall \infty$  fonction  $\mathbb{C}^\infty$  à support dans D, l'équation

$$(17) \quad \frac{\partial g}{\partial t} + F \cdot \frac{\partial g}{\partial x} = \alpha$$

a une solution g à support dans D

Dans le cas présent, on prend pour D un demaine dont l'intersection avec  $\mathbb{R} \times \mathbb{R}^+$  est limitée par les droites  $\mathbf{x} = \xi_1 + \Lambda t$ ,  $\mathbf{x} = \xi_2 - \Lambda t$ , où  $\Lambda = \sup |F(\mathbf{x},t)|$ 

(comparer à la remarque  $\bigcirc$ ) et remarquer que les caractéristiques de (17) sont les droites d'équation  $\frac{dx}{dt} = F(x,t)$ ; on se pose alors le problème de Cauchy pour une donnée initiale nulle sur  $\partial D \cap (t > 0)$ .

L'équation (1%) est une équation hyperbolique <u>linéaire</u> dont le coefficient F est discontinu là où u et v sont discontinues (on suppose f non linéaire). La condition (E) assure que le problème de Cauchy considéré n'est pas surdéterminé (voir la figure 8 du § 12 de Gelfand [3] ).

Soient u,v deux solutions faibles de  $(\mathcal{E}')$  qui vérifient  $(\mathcal{H})$  et  $(\mathbb{E})$ , telles que u(x,0) et v(x,0) soient dans  $L^1(\mathbb{R})$ .

Soit  $x_i(t)$ ,  $i\in \mathbf{Z}$ , une partition dénombrable de R  $\times$  {t} telle que u(x,t)-v(x,t) soit de signe constant dans  $\left[x_i(t),x_{i+1}(t)\right]$ ; soit  $\varepsilon>0$  fixé.

La méthode utilisée dans la démonstration d'Oleinik nous permet d'associer à  $x_i(t)$  une partition  $\xi_i(t)$  de  $\mathbb{R}$   $\times$   $\{0\}$  (en intégrant approximativement l'équation différentielle  $\frac{dx}{dt} = \frac{f(u) - f(v)}{u - v}$ ) de façon que  $\forall i$ ,  $\left| \int_{x_i(t)}^{x_{i+1}(t)} (u(x,t) - v(x,t)) \ dx - \int_{\xi_i(t)}^{\xi_{i+1}(t)} (u(x,0) - v(x,0)) \ dx \right| \leq \frac{\varepsilon}{2^{\lfloor i \rfloor + 2}}$ 

On a alors
$$\int_{\mathbb{R}} |u(x,t) - v(x,t)| dx = \sum_{i} \operatorname{sgn}_{i}(u-v) \int_{x_{i}(t)}^{x_{i+1}(t)} (u(x,t) - v(x,t)) dx$$

$$\leq \sum_{i} \int_{\xi_{i}(t)}^{\xi_{i+1}(t)} |u(x,0) - v(x,0)| dx + \varepsilon$$

$$= \int_{\mathbb{R}} |u(x,0) - v(x,0)| dx + \varepsilon$$

Cette inégalité, valable pour tout  $\varepsilon$ , nous montre que (17 bis)  $\forall t$ ,  $\int_{\mathbb{R}} \left| u(x,t) - v(x,t) \right| dx \le \int_{\mathbb{R}} \left| u(x,0) - v(x,0) \right| dx$ ,

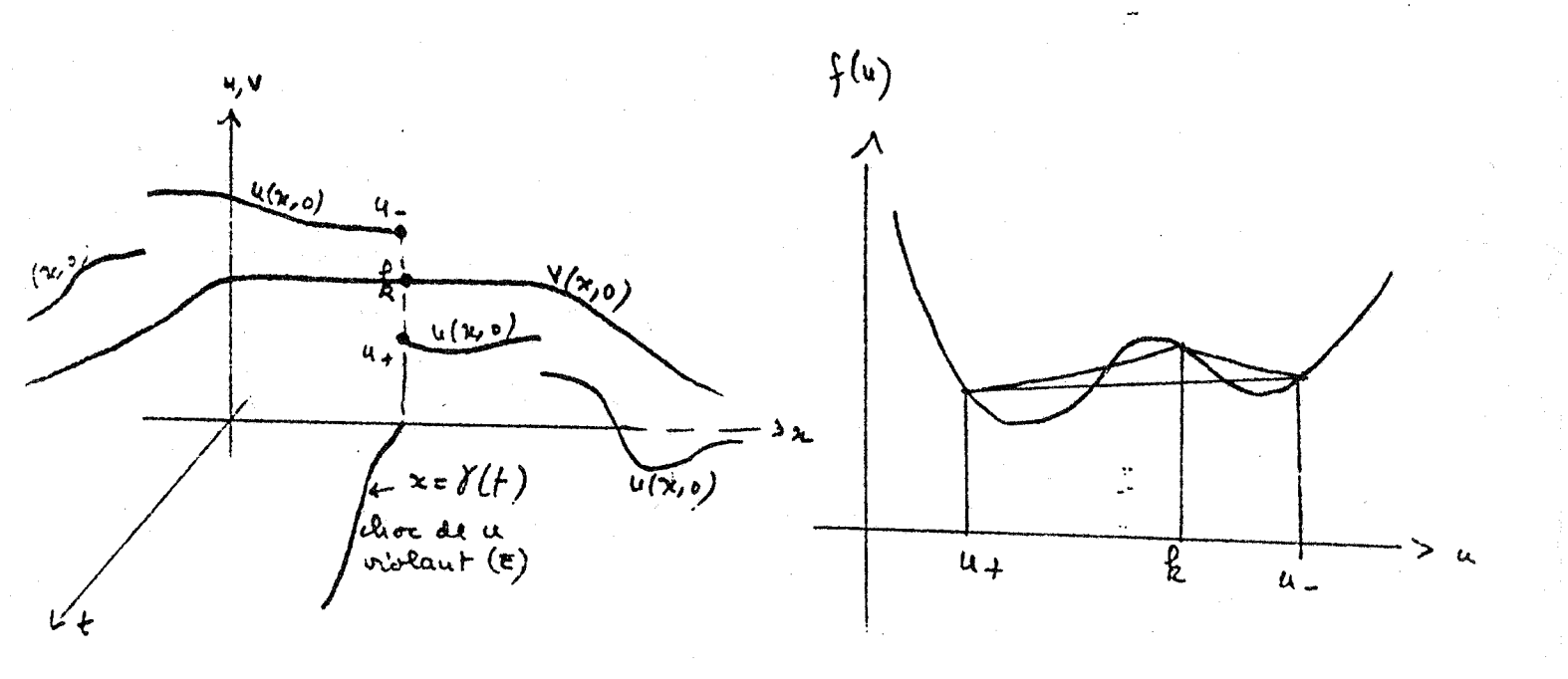
ce qui s'exprime savamment en disant que l'ensemble des "opérateurs solution" de  $(\mathcal{E}')$  forme un semi-groupe de contractions dans  $\mathbb{L}^1.$ 

Réciproquement, nous allons montrer que cette propriété équivaut à (E) (voir B.K. Quinn [12] ) : si u est une solution dont un des chocs ne vérifie pas (E), il existe une solution v telle que (17 bis) ne soit pas vérifié.

Quitte à faire une trans:ation sur les cemps, on peut supposer .30 J a en t=0 un choc ne vérifiant pas (E).

Soit v(x,0) définie comme sur la figure 10 bis : v a un palier v(x,0) = k au voisinage du choc  $x = \{(0) \text{ de } u(x,0), \text{ et les graphes}\}$ de u x,0) et v(x,0) ne s'intersectent pas.

#### Figure 10 Bis



Si t>0 est assez petit, v(x,t) n'a pas de choc et les graphes de

$$u(x,t) \text{ et } v(x,t) \text{ ne s'intersectent toujours pas. On a donc}$$

$$\int_{\mathbb{R}} |u(x,t) - v(x,t)| dx = \int_{-\infty}^{+\infty} (u(x,t) - v(x,t)) dx - \int_{\{(t)}^{+\infty} (u(x,t) - v(x,t)) dx$$

On en déduit 
$$\frac{d}{dt} \left( \int_{R} |u(x,t)-v(x,t)| \, dx \right) = i'(t) \left( u_{-}(i(t),t)-v(i(t),t) \right) + \int_{-\infty}^{+\infty} \frac{\partial}{\partial t} \left( u(x,t)-v(x,t) \right) dx$$
 
$$+ i'(t) \left( u_{+}(i(t),t)-v(i(t),t) \right) - \int_{i(t)}^{+\infty} \frac{\partial}{\partial t} \left( u(x,t)-v(x,t) \right) dx$$
 
$$\# i'(0) \left( u_{-}-k \right) - \left( f(u_{-})-f(k) \right) > 0,$$

ce qui prouve notre affirmation.

#### III - VISCOSITES

Dans l'exposé n° 7 [1] est démontré un théorème d'existence pour  $(\mathcal{E}')$  lorsque f est  $C^2$  et  $\varphi \in L^\infty(\mathbb{R}) \cap L^1(\mathbb{R})$ .

La solution u est obtenue comme limite au sens des distributions pour  $\epsilon \longrightarrow 0$  de solutions u de l'équation parabolique

$$(P_{\varepsilon}) \qquad \frac{\partial u}{\partial t} + \frac{\partial}{\partial x} f(u) = \varepsilon \frac{\partial^2 u}{\partial x^2}$$

#### III.1. Un Exemple:

Nous commencerons par un cas très simple qui aurait pu nous servir à retrouver les conditions (R.H.) et (E) (Gelfand [3] ):

On cherche une solution de (1') de la forme

(18) 
$$\begin{cases} u(x,t) = u_{-} \text{ si } x - ct < 0 \\ u(x,t) = u_{+} \text{ si } x - ct > 0 \end{cases}$$

comme limite de solutions  $u_{\epsilon}$  de  $(P_{\epsilon})$ ; puisque u ne dépend que de x-ct, il n'est pas absurde de chercher des solutions de  $(P_{\epsilon})$  de la forme  $u_{\epsilon} = q(\xi)$ ,  $\xi = \frac{x-ct}{\epsilon}$ , ce qui ramène  $(P_{\epsilon})$  à l'équation différentielle (indépendante de  $\epsilon$ !).

(19) 
$$-c\frac{dq}{d\xi} + \frac{df(q)}{d\xi} = \frac{d^2q}{d\xi^2}$$

S'il existe une solution de (19) qui vérifie

(20) 
$$\begin{cases} q(\xi) \rightarrow u_{\perp} \text{ pour } \xi \rightarrow -\infty \\ q(\xi) \rightarrow u_{\perp} \text{ pour } \xi \rightarrow +\infty \\ \frac{dq}{d\xi} (\xi) \rightarrow 0 \text{ pour } |\xi| \rightarrow +\infty \end{cases}$$

il est clair que u = q( $\xi$ )  $\rightarrow$  u défini en (18) pour  $\varepsilon \rightarrow 0$  (simple dilatation).

in commence par intégrer une fois (19) pour obtenir

(21) 
$$-cq + f(q) + K = \frac{dq}{dE}$$

La dernière ligne de (20) s'écrit alors

$$\begin{cases} -cu_{-} + f(u_{-}) + K = 0 \\ -cu_{+} + f(u_{+}) + K = 0 \end{cases}$$

qui détermine K à condition que (R.H.) soit vérifiée.

Il reste à trouver une condition nécessaire et suffisante d'existence d'une orbite allant de u\_ à  $u_{\downarrow}$  (orbite hétéroclinique) pour l'équation

(22) 
$$\frac{dq}{d\xi} = \phi(q).$$

où 
$$\Phi(q) = -c(q-u_{\perp}) + f(q)-f(u_{\perp}) = -c(q-u_{\perp})+f(q)-f(u_{\perp})$$

La première condition est que le champ de vecteur  $\Phi(q)$  ait la bonne direction en u\_ et u\_, c'est à dire  $\Phi'(u_-) > 0$  et  $\Phi'(u_+) \leqslant 0$  dans le cas où u\_ < u\_ ; on retrouve la condition de stabilité (E').

La deuxième condition est que  $\Phi(q)$  n'ait pas de zéro pour q entre  $u_+$  et  $u_-$ ; on retrouve exactement la condition (E) d'Oleïnik.

#### REMARQUES:

Si on remplace dans  $\{P_{\epsilon}\}$  le deuxième membre par une autre viscosité, on peut ne pas trouver de limite ou trouver une limite différente : reprenons l'exemple de Gelfand (II.2 remarque 2); on obtient une solution faible de l'équation (ii) comme limite de l'équation

$$\frac{\partial u}{\partial t} + u \frac{\partial u}{\partial x} = \frac{\varepsilon}{u} \frac{\partial^2 u}{\partial x^2}$$

On a vu qu'une telle solution n'est pas une solution faible de l'équation  $\frac{\partial u}{\partial t} + u \frac{\partial u}{\partial x} = 0$ .

2 On peut remplacer la méthode de viscosité par un processus aux différences finies.

III.2. LOIS DE CONSERVATION SUPPLEMENTAIRES (D'après Lax [8] )

Nous allons montrer maintenant que si une solution u de (1º) est limite au sens des distributions de solutions u de  $\{P_{\varepsilon}\}$ , elle vérifie la condition (E) (pour (R.H.) c'est évident). Le lecteur comparera avec l'exposé n° 7 [1] , le lien étant fait par la remarque 3 de II.3.).

Soit .U(u) une fonction  $C^1$ ; si F(u) vérifie

(23) 
$$-f'(u) U'(u) + F'(u) = 0$$
, on a

(24) Pour toute solution u de (1') de classe C<sup>1</sup>,  $\begin{cases} \frac{\partial U(u(x,t))}{\partial t} + \frac{\partial F(u(x,t))}{\partial x} = 0 \end{cases}$ 

Il est facile de vérifier qu'on a déterminé ainsi toutes les lois de conservation supplémentaires vérifiées par les solutions C<sup>1</sup> de (1').

#### THEOREME (Lax) :

Si u est une solution de (1') limite dans L $^{\infty}$  de solutions u $_{\epsilon}$  de ( $P_{\epsilon}$ ), et si U(u) est convexe, on a (pour F déterminé comme ci-dessus) :

(25)  $\frac{\partial U(u(x,t))}{\partial t} + \frac{\partial F(u(x,t))}{\partial x} \le 0$  (au sens des distributions)

#### **DEMONSTRATION:**

en multipliant (
$$P_{\varepsilon}$$
) par  $U!(u_{\varepsilon})$ , on obtient

(26)  $\frac{\partial U(u_{\varepsilon})}{\partial t} + \frac{\partial F(u_{\varepsilon})}{\partial x} = \varepsilon U!(u_{\varepsilon}) \frac{\partial^{2} u_{\varepsilon}}{\partial x^{2}};$ 

mais  $\frac{\partial^{2} U(u_{\varepsilon})}{\partial x^{2}} = U!(u_{\varepsilon}) (\frac{\partial u_{\varepsilon}}{\partial x})^{2} + U!(u_{\varepsilon}) \frac{\partial^{2} u_{\varepsilon}}{\partial x^{2}}$ 
 $\geq U!(u_{\varepsilon}) \frac{\partial^{2} u_{\varepsilon}}{\partial x^{2}}$  si  $U(u)$  est convexe.

On a donc

$$(27) \frac{\partial U(u_{\varepsilon})}{\partial t} + \frac{\partial F(u_{\varepsilon})}{\partial x} \leq \varepsilon \frac{\partial^{2}U(u_{\varepsilon})}{\partial x^{2}}$$
 qui tend vers 0 au sens des distri-

butions.

COFD.

APPLICATION: On commence par remarquer qu'en passant à la limite au sens des distributions, il suffit de supposer que U est continue (et convexe); on applique alors le théorème avec

$$U_{k}(u) = \begin{cases} 0 & \text{si } u < k \\ u - k & \text{si } u > k \end{cases}$$

$$F_{k}(u) = \begin{cases} 0 & \text{si } u < k \\ f(u) - f(k) & \text{si } u > k \end{cases}$$

En utilisant (R.H.) on voit alors que les inégalités

$$\frac{\partial U_{k}(u)}{\partial t} + \frac{\partial F_{k}(u)}{\partial x} \leq O(k \in \mathbb{R}) \quad \text{équivalent à (E)}.$$

IV - LE CAS UNIFORMEMENT CONVEXE.

#### IV.1. Le Théorème de Lax :

Le but de ce paragraphe est de démontrer le théorème de Lax (voir [7]) qui, dans le cas où f"(u) ne s'annule jamais, exhibe la solution de  $(\mathcal{E})$  sous une forme qui permet d'étudier la structure générique des courbes de discontinuité. Les notations sont celles du paragraphe I (avec a(u) = f'(u)).

Soit 
$$\phi : \mathbb{R}^2 \longrightarrow \mathbb{R}^3$$
 l'application définie par

(28) 
$$\Phi(y,t) = (\underline{y + tf'(\varphi(y))}, t, \underline{\varphi(y)})$$

c'est l'application "caractéristique" de Guckenheimer [5] ).

 $\Phi$  définit un difféomorphisme de  $RxR^+$  sur (S), ce qui explique que, si  $\omega$  = u dx - f(u)dt, on ait

$$d \Phi^{*} \omega = \Phi^{*} d \omega = 0.$$

Puisque  $\mathbb{R} \times \mathbb{R}^+$  est contractile, il existe  $F: \mathbb{R} \times \mathbb{R}^+ \longrightarrow \mathbb{R}$  telle que  $\Phi^{\times} \omega = dF$ ; calculons F:

$$\Phi^{X} w = \underbrace{(q(y) + tf^{*}(q(y))q'(y)q(y))dy}_{\frac{\partial F}{\partial t}} + \underbrace{(q(y)f'(q(y)) - f(q(y)))}_{\frac{\partial F}{\partial t}} dt$$

Il vient 
$$F(y,t) = t(\varphi(y) f'(\varphi(y)) - f(\varphi(y)) + g(y)$$
  
 $\frac{\partial F}{\partial y} = t\varphi(y) \varphi'(y) f''(\varphi(y)) + g'(y)$ 

donc g'(y) =  $\varphi(y)$ ; supposons F(0,0) = 0, on obtient  $F(y,t) = t(\varphi(y) f'(\varphi(y)) - f(\varphi(y)) + \int_{0}^{y} \varphi(s) ds$ 

On remarque que  $F = F \circ \Phi$ , où  $F : \mathbb{R} \times \mathbb{R}^+ \times \mathbb{R} \longrightarrow \mathbb{R}$  est définie par (29)  $F(x,t,u) = t(uf'(u) - f(u)) + \int_0^{x-tf'(u)} \varphi(s)ds$ 

Calculons

- (30)  $dF(x,t,u) = \omega + [u \varphi(x-t f'(u))]$ . [-dx + f'(u)dt + tf''(u)du]On en déduit que
  - 1) sur (S),  $dF(x,t,u) = \omega$  (c'était fait pour ça !)
  - 2) Si t > 0,  $\frac{\partial F}{\partial u}(x,t,u) = 0 \Leftrightarrow f''(u) \left[u \varphi(x-tf'(u))\right] = 0$

autrement dit, si f"(u) ne s'annule jamais (par exemple si f est strictement convexe),  $\frac{\partial F}{\partial u}$  (x,t,u) = 0 est une équation de (S) pour t > 0.

Remarquons enfin que, si  $\frac{1}{3}$ c,  $f''(u) \ge c > 0$  pour tout u, et si  $\varphi$  est bornée,  $\frac{\partial F}{\partial u}(x,t,u)$  tend vers  $+\infty$  si  $u \to +\infty$ , vers  $-\infty$  si  $u \to -\infty$  pour tour couple (x,t) fixé : en effet, t f''(u) reste positif et borné inférieurement par tc, alors que  $u - \varphi(x-tf'(u))$  se comporte comme u; on en déduit que  $\forall x,t$ , la fonction  $u \to F(x,t,u)$  a un minimum.

On est alors en mesure de prouver le

#### THEOREME :

Soit f une fonction  $C^2$  uniformément convexe (x),  $\phi$  une fonction dérivable et bornée ; l'unique solution de  $(E^*)$  vérifiant (R.H.) et (E) est donnée par

u(x,t) = min F(x,t,u)

#### COROLLAIRE :

Le graphe de u est contenu dans (S) (en particulier, si f et  $\phi$  sont analytiques (C^\infty), u est analytique (C^\infty) en dehors des chocs).

#### DEMONSTRATION DU THEOREME :

Cherchons à priori une telle solution u de  $(\mathcal{E}')$  dont le graphe soit contenu dans (S), définie ici par  $\frac{\partial F}{\partial u}$  (x,t,u) = 0, et supposons de plus que u vérifie la condition  $(\mathcal{H})$  du paragraphe II.3; alors <u>le long d'une courbe de discontinuité</u> de u, on a dF(x,t,u\_) = dF(x,t,u\_) (c'est exactement (R.H.)).

Dans le cas générique (figures 3 et 4), on a  $u_{\perp} = u_{\perp}$  à l'origine du choc, ce qui montre que tout au long de la courbe de discontinuité, on a  $F(x,t,u_{\perp}) = F(x,t,u_{\perp})$ .

Pour une solution vérifiant les hypothèses précédentes les points de discontinuité sont donc des points  $(x,t) \in \mathbb{R} \times \mathbb{R}^+$  pour lesquels la fonction  $u \longrightarrow F(x,t,u)$  a deux points critiques ayant même valeur critique.

La fonction min F(x,t,u) possède cette propriété (l'ensemble de  $u \in \mathbb{R}$  ses points de discontinuité est l'ensemble de Maxwell de la famille de fonctions  $u \longrightarrow F(x,t,u)$  paramétrée par (x,t) dans la terminologie de Thom); pour cette fonction ce qui précède montre que (RH.) est vérifié ; quand à (E), qui se réduit à (E') dans le cas convexe, elle est évidemment vérifiée ; il ne reste plus qu'à invoquer l'unicité démontrée dans le paragraphe II).

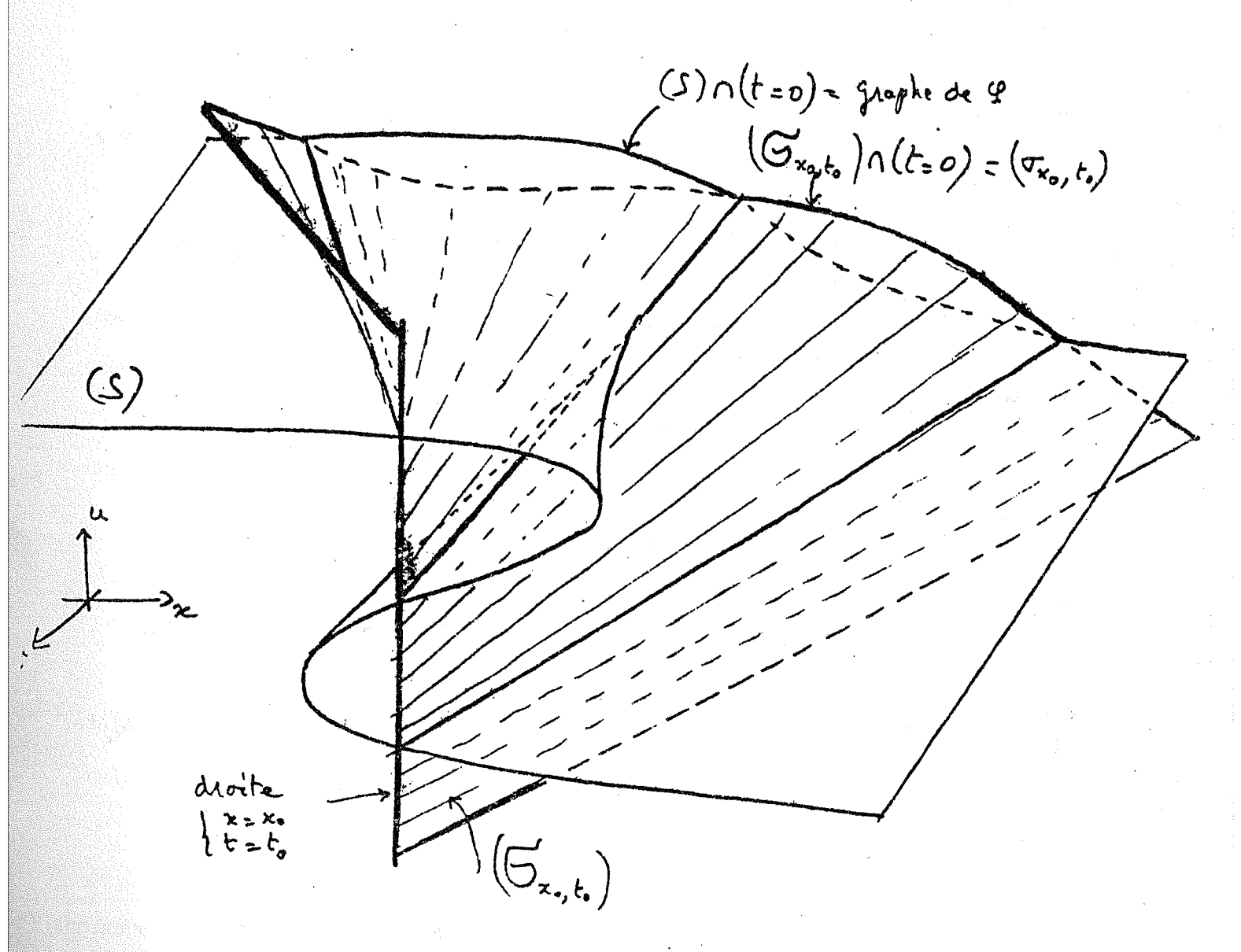
Pour prouver le théorème sans hypothèse de régularité sur u,

voir Lax [7] :

REMARQUE : Interprétations géométriques de la condition (R.H.) et de la

fonction F(x,t,u) (d'après Thom) :

Figure 11.



La Figure 11 représente les deux surfaces (S) et  $(G_{x_0,t_0})$ , la dernière étant engendrée par les droites  $(x-x_0) = f'(u_0)(t-t_0)$ ,  $u=u_0$  lorsque  $u_0$  varie.

La trace de  $(G_{x_0,t_0})$  sur le plan t=0 sera notée  $(\sigma_{x_0,t_0})$ .

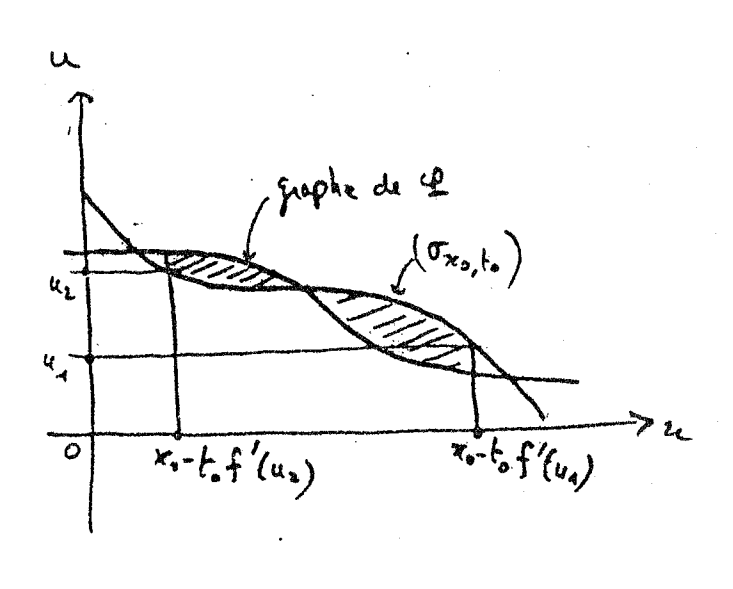
L'équation de  $(G_{x_0,t_0})$  est x-x<sub>0</sub> = f'(u)(t-t<sub>0</sub>), celle de  $(\sigma_{x_0,t_0})$  est x = x<sub>0</sub> - t<sub>0</sub>f'(u); L'aire & comprise entre  $\sigma(x_0,t_0)$ , l'axe des u.

et les segments u=u<sub>+</sub>, u=u<sub>-</sub> vaut &= x<sub>0</sub>(u\_-u<sub>+</sub>)-t<sub>0</sub> (f(u<sub>-</sub>)-f(u<sub>+</sub>)); la condition (R.H.) traduit la constance de cette aire lorsque  $(x_0,t_0)$  parcourt une courbe de discontinuité de u et que u<sub>+</sub>,u<sub>-</sub> sont les valeurs de u de part et d'autre de cette courbe (figure 12).

Figure 12

La Cart

Figure 13.

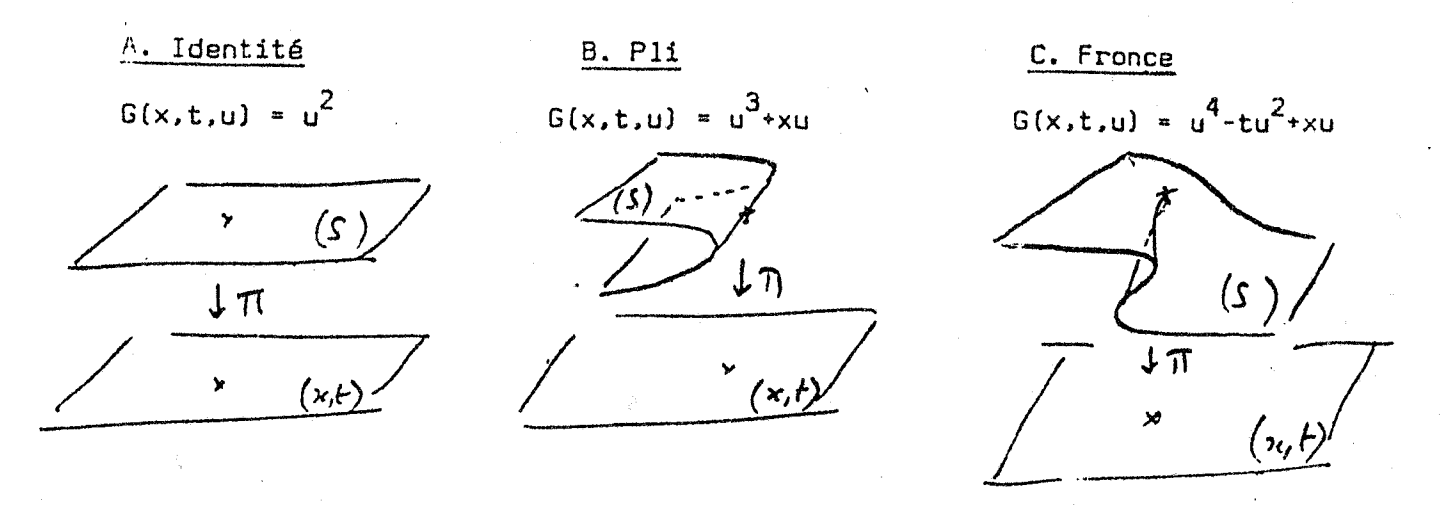


L'interprétation de  $F(x_0,t_0,u)$  est analogue (figure 13) :  $F(x_0,t_0,u_2) - F(x_0,t_0,u_1) \text{ est l'aire limitée par le graphe de $\phi$ , $(\sigma_x_0,t_0)$, et les segments $x=x_0-t_0$ f'(u_1), $x=x_0-t_0$ f'(u_2).}$ 

Les fait que, si f est uniformément convexe, les seuls points critiques de  $F(x_0,t_0,u)$  correspondent aux points d'intersection de  $(\sigma_{x_0,t_0})$  et du graphe de  $\phi$  vient de ce qu'alors la projection de  $(\sigma_{x_0,t_0})$  sur l'axe des x est partout  $\sigma_{x_0,t_0}$ 

Les deux réfèrences sont [4] et [11] .

Soit  $u \to G(x,t,u)$  une famille de fonctions différentiables parametrées par x,t; Si cette famille est suffisamment générale (au sens de Thom  $\begin{bmatrix} 10 \end{bmatrix}$ ), le comportement local de la surface d'équation  $\frac{\partial G}{\partial u}(x,t,u)=0$  vis-à-vis de la projection  $\pi$  sur le plan (x,t) ne peut être que de l'un des trois types suivants (voir  $\begin{bmatrix} 10 \end{bmatrix}$ .):



De plus, le comportement C ne se produit qu'en des points isolés de R  $\times$  R $^+$ , et le comportement B sur des courbes régulières de R  $\times$  R $^+$ .

D'un point de vue global, et toujours pour G suffisamment générale, il n'y a aussi que 3 possibilités réalisées respectivement en des points isolés de  $\mathbb{R} \times \mathbb{R}^+$ , sur des courbes régulières, et dans le complémentaire :

- E. Il y a 3 valeurs  $u_1$ ,  $u_2$ ,  $u_3$  qui minimisent G(x,t,u),
- F. Il y a 2 valeurs  $u_1$ ,  $u_2$  qui minimisent G(x,t,u)
- G. If y a 1 seule valeur  $u_1$  qui minimise G(x,t,u).

Dans [11] Schaeffer montre par les techniques usuelles de transversalité, qu'il existe un ensemble de première catégorie A CA(R) tel que si  $\varphi \in \mathcal{A}(R)$  - A (i.e. pour "presque tout  $\varphi$ ") la famille de fonctions  $U \longrightarrow F(x,t,u)$  est suffisamment générale au sens précédent, on en déduit que la solution U de  $(\mathcal{E}')$  est U par morceaux dès que  $\varphi \in \mathcal{A}(R)$  - A

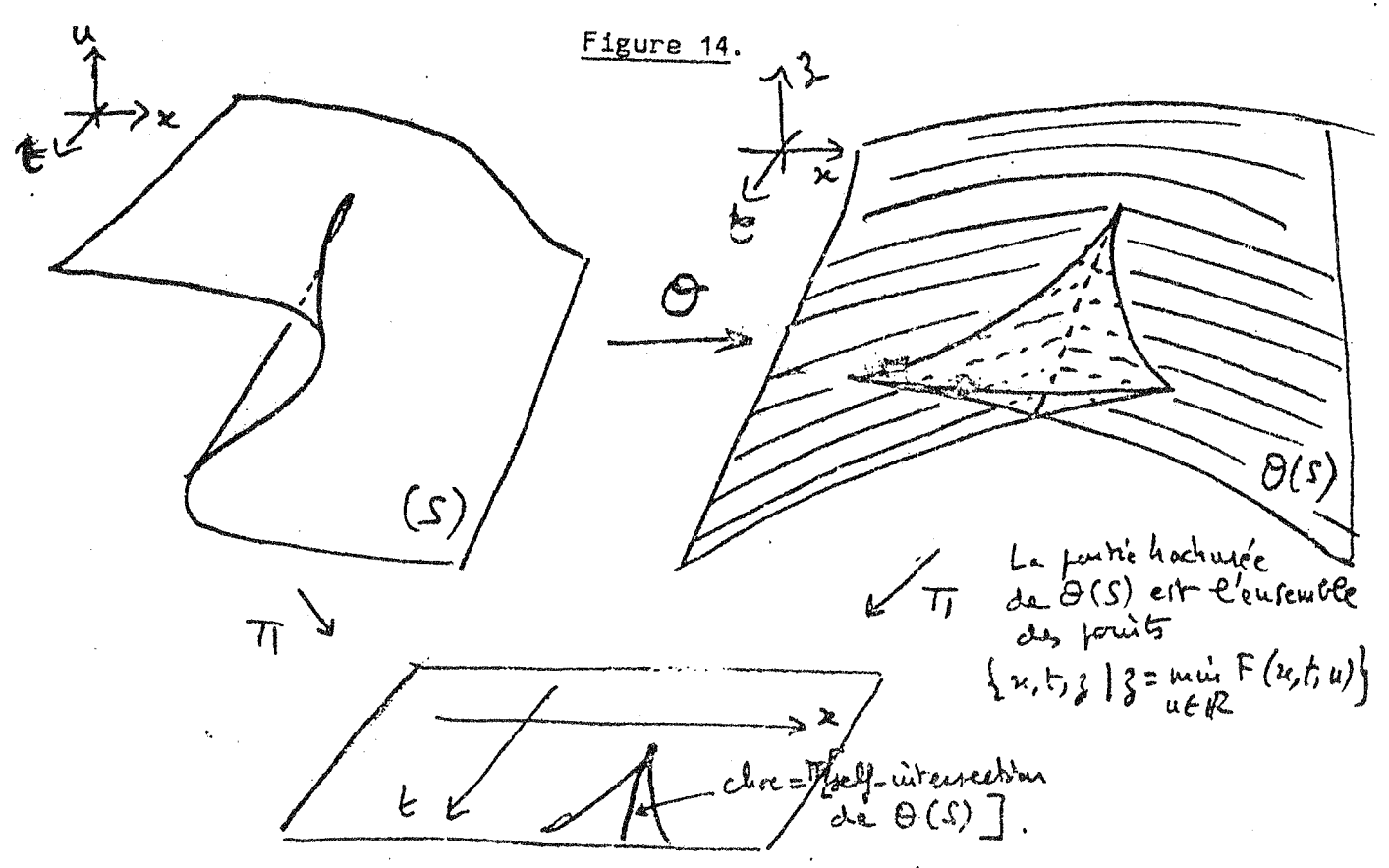
we did

De-plus, Schaeffer montre qu'on peut choisir A de façon que, si  $\varphi \in \mathscr{A}(\mathbb{R})$  - A le solution u de  $(\mathscr{E})$  n'ait qu'un nombre fini de lignes de discontinuité.

Dans [4] Schaeffer et Golubitsky, utilisant les mêmes méthodes et le théorème de stabilité infinitésimale de J. Mather, montrent qu'on peut choisir A tel que si  $\varphi \in \mathcal{A}(\mathbb{R})$  – A, la solution u de  $(\mathcal{E}')$  est stable dans le sens suivant : si v est la solution de (1') correspondant à une donnée initiale v(x,0) assez proche de  $\varphi$  dans  $\mathcal{A}(\mathbb{R})$ , il existe un difféomorphisme de  $\mathbb{R} \times \mathbb{R}^+$  transformant l'ensemble de discontinuité de u en celui de v.

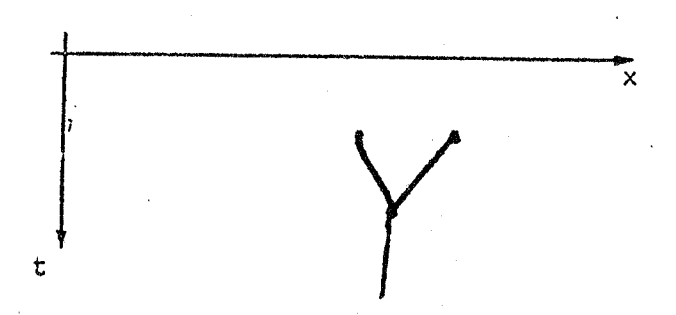
Il nous reste à donner la structure des ensembles de discontinuité des solutions de  $(\mathcal{E}')$  dont la donnée initiale est dans  $\mathcal{L}(\mathbb{R})$  – A : il suffit de regarder ce qui peut arriver à F(x,t,u) :

D'un point de vue local seul le type "fronce" donne quelque chose (naissance d'un choc, voir figures 3 et 4); il peut être intéressant de "voir" F(x,t,u) en représentant l'application (x,t,u)  $\xrightarrow{b}$  (x,t,F(x,t,u)) (figure 14).



Globalement, la seule chose qui puisse arriver à une courbe de discontinuité est d'en rencontrer une autre au cours du temps (Figure 15) : c'est le cas où 3 valeurs  $u_1, u_2, u_3$  de u minimisent F(x,t,u); il émerge de la collision une unique courbe de discontinuité (et aucun des 3 angles n'est nul).

Figure 15

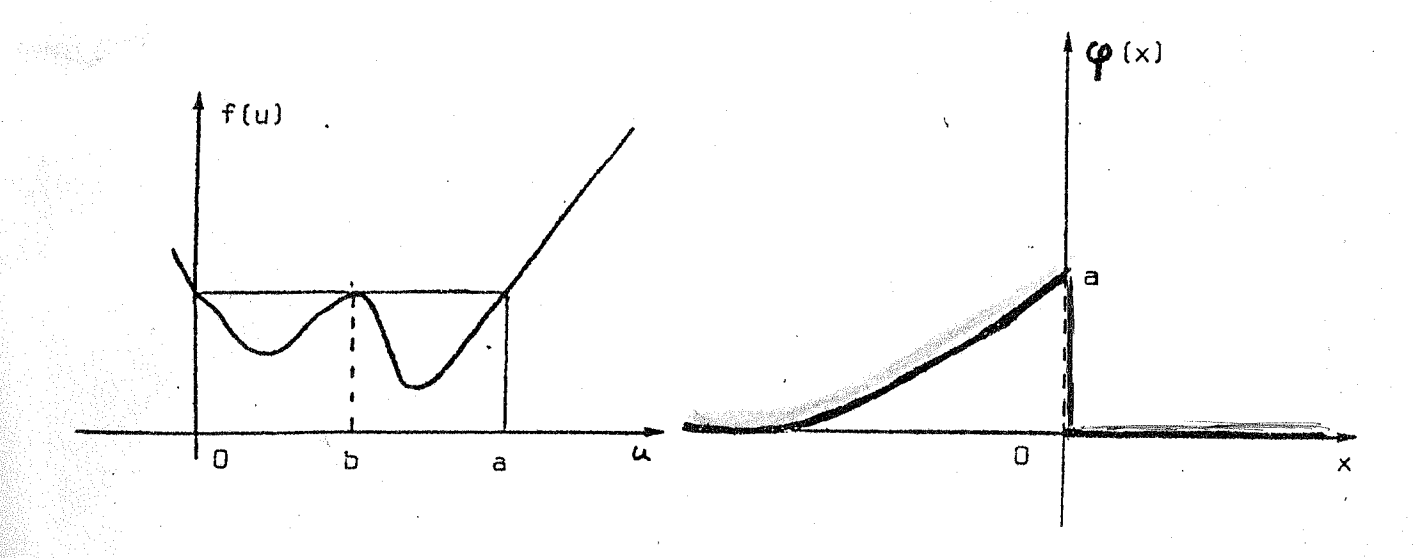


Remarquons que si  $\varphi \in \mathcal{O}(\mathbb{R})$  - A, l'étude géométrique qui précède et la finitude du nombre des lignes de discontinuité montrent la connexité de l'ensemble des points de continuité de u ; ceci explique que le graphe de u soit contenu dans la surface (S).

#### V - UN EXEMPLE DANS LE CAS NON CONVEXE

V.1 On considère toujours  $(\mathcal{E}')$  avec des fonctions f(u),  $\phi(x)$  dont les graphes sont représentés sur la figure 16

#### Figure 16.



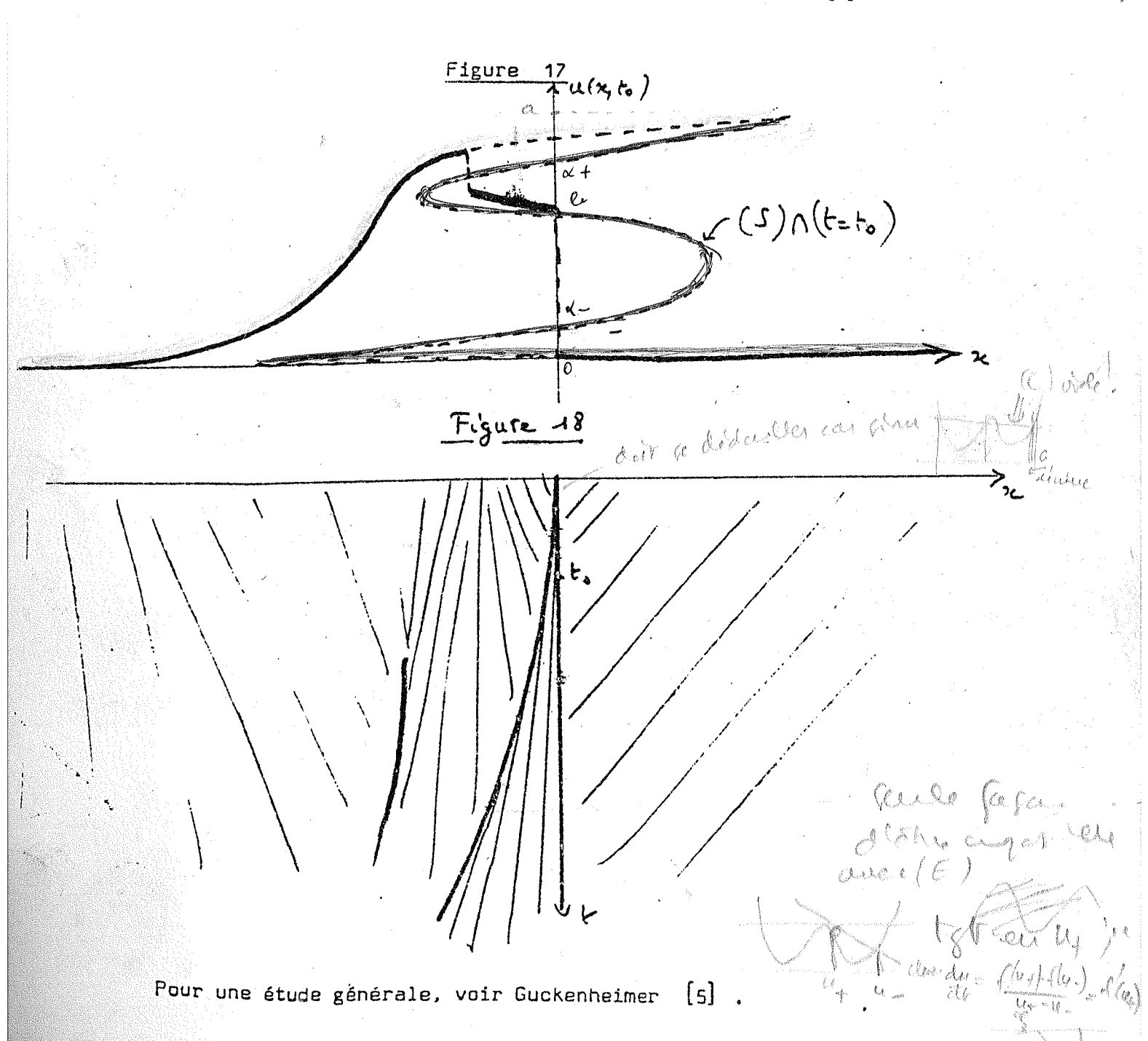
La solution vérifiant (R.H.) et (E) se voit bien en utilisant la méthode du § 8 de Gelfand [3] et en remarquant que si la discontinuité initiale de  $\varphi$  ne se dédoublait pas, l'amplitude u\_-u\_ du choc serait une fonction strictement décroissante de t ; dès que t > 0, la condition (E) serait donc violée (ceci vient du choix de a tel que la droite joignant les points (0,f(0)) et (a,f(a)) soit tangente au graphe de f au point (b,f(b)), et du fait que  $\varphi$  s'écrase à l'infini). Ce raisonnement ne serait pas valable si, par exemple,  $\varphi$  valait 0 pour x > 0 et a pour x < 0.

Remarquons enfin que si on augmente un peu a, le choc initial vérifie (E) et ne se dédouble qu'au bout d'un certain temps.

La figure 17 représente le graphe de la solution  $u(x,t_0)$  pour  $t_0>0$  petit (%n pointillés on a représenté la trace sur le plan  $t=t_0$  de la surface (S)) ;

la figure 18 représente les courbes de discontinuité de u et les caractéristiques. On constate que

- 1) l'ensemble des points de continuité de u n'est pas connexe (et le graphe de u n'est pas contenu dans la surface (S))
- 2) l'un des chocs a une amplitude  $u_-u_+$  constante (alors que dans le cas convexe cette amplitude tend vers 0, Lax [6] ).



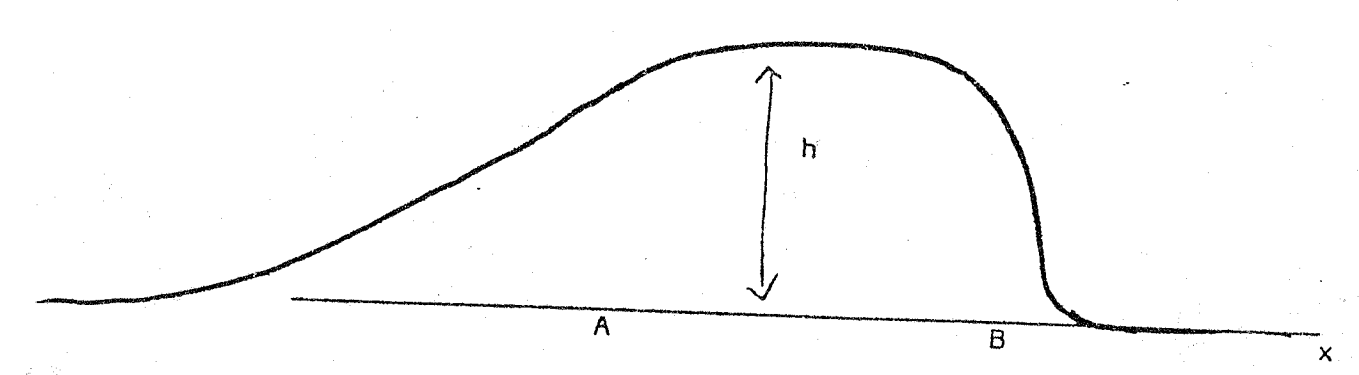
(x) Si  $\phi$  est C<sup>1</sup> par morceaux comme dans l'exemple considéré, on généralise (S) en prenant des caractéristiques s'appuyant sur la courbe obtenue à partir du graphe de  $\phi$  en rajoutant des segments verticaux joignant les valeurs de  $\phi$  là ou elle est discontinue (ex \_\_\_\_\_\_\_ donne \_\_\_\_\_\_)

Les descuis

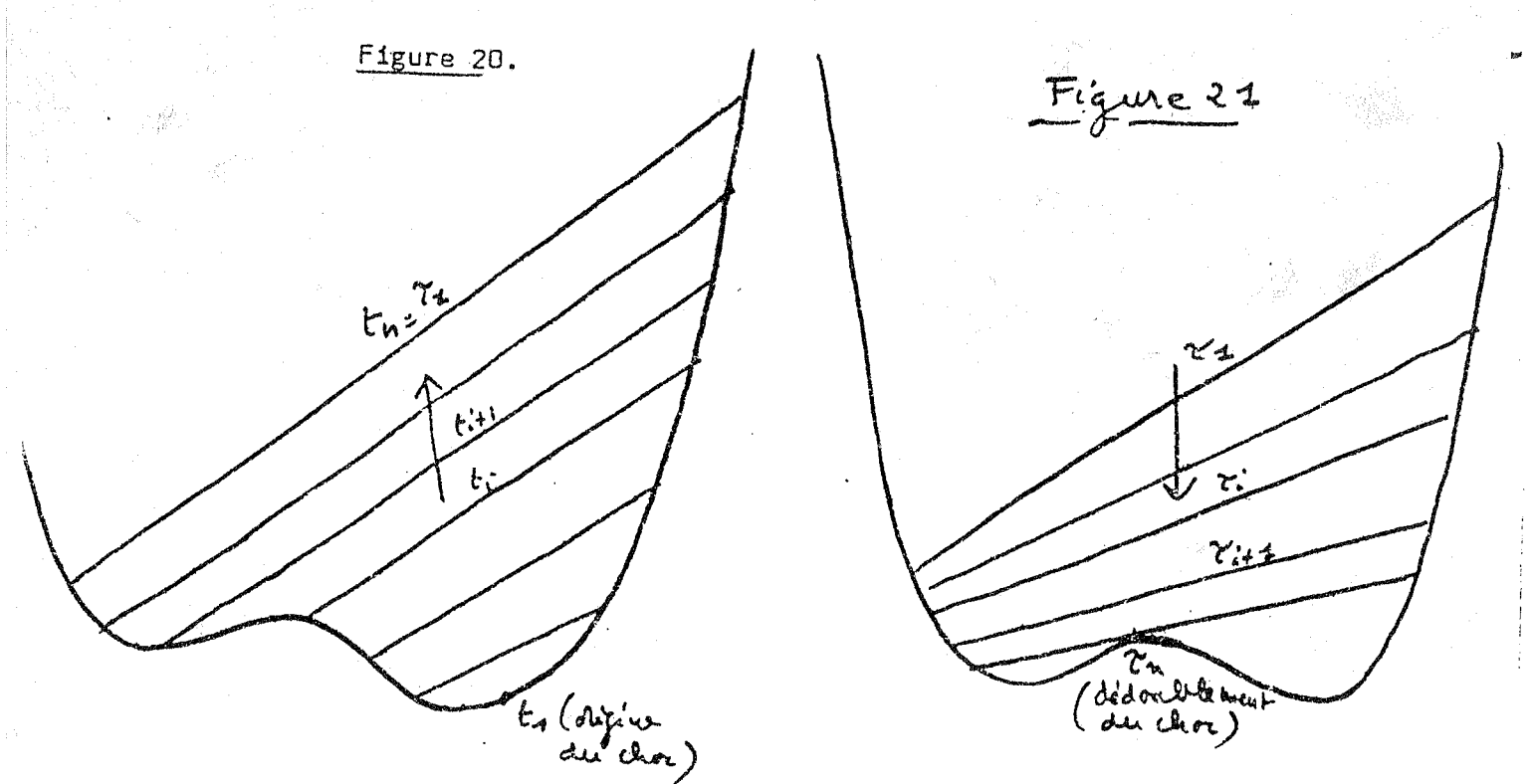
V.2. Je dois à David Shaeffer les deux remarques qui suivent :

1) L'exemple précédent peut être obtenu à partir d'une donnée initiale  $\phi(x)$  régulière (figure 19).

Figure 19.



Un choc se forme aux alentours de B au temps  $t_1$ ; dans une première phase, l'amplitude du choc augmente : si h est assez grand, on peut obtenir le comportement décrit sur la figure 20 (on a représenté pour une suite d'instants  $t_1$  la droite joignant les points  $(u_1, f(u_1))$  et  $(u_1, f(u_1))$ , où  $u_1$  et  $u_2$  sont les valeurs de part et d'autre du choc au temps  $t_1$ .



Dans une deuxième étape, les caractéristiques provenant de la partie du graphe de  $\varphi$  correspondant à x < A (figure 19) viennent construire le choc, et l'amplitude commence à décroitre, ce qui donne la figure 21 sur laquelle apparaît clairement le phénomène de l'exemple étudié dans V.1.

Les exemples ci-dessus masquent un phénomène important à cause de la présence d'un choc de chaque côté de l'onde de raréfaction ; L'exemple suivant (fig. 22 et 23) montre que même si la donnée de Cauchy  $\phi(x)$  est analytique par morceaux, la solution n'est en général que continue dans le complémentaire des chocs ; la remarque 1 s'applique d'ailleurs pour fournir un exemple analogue avec  $\phi(x)$  analytique.

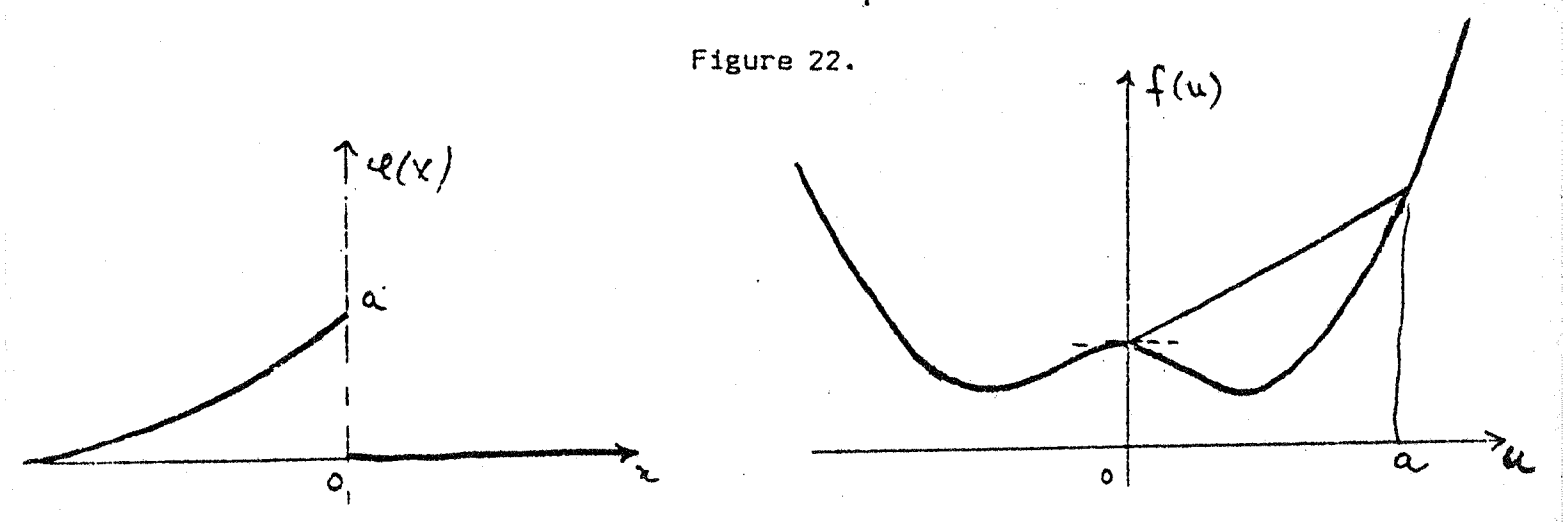


Figure 23. (graphes de u(x,t); question à 10 centimes : trouver le temps critique)

t petit

t plus grand



REMARQUE: Pour construire cet exemple, une fonction flu) cubique suffisait déjà.

#### CONCLUSIONS :

Dans le cas où f est strictement convexe et où ç est analytique, le graphe de la solution u est contenu dans la surface (S) qui est alors analytique; on en déduit que u est analytique dans le complémentaire des chocs.

L'exemple précédent montre qu'un résultat de ce type n'a de vraisemblance dans le cas général que si on compte comme un choc (d'amplitude zéro) le bord d'une onde de raréfaction.

## BIBLIOGRAPHIE

[1]	C. BARDOS	Séminaire Nice 1974-1975. Problèmes d'évolution non
		linéaires. exposés n° 1,6,7,8.
[2]	L. BRÛN	Cours école Polytechnique 1975. :
[3]	I.M. GELFAND	Some problems in the theory of quasilinear equations.
		A.M.S. translations séries 2, vol 29, 1963.
4 (4)	M. GOLUBITSKY, D. SCHAEFFER	Stability of shock waves for a single conservation law
		Advances in Math. 15 (1975) p. 65.71.
[5]	J. GUCKENHEIMER	Solving a single conservation law. Warwick dynamical
		systems 1974, Lecture notes in Math. Springer 1975. 5
[e]	P.D. LAX	The formation and decay of shock waves, American
		Math. Monthly 79 (1972) p.227.241.
[7]	P.D. LAX	Hyperbolic systems of conservation laws II,
		communication Pure Appl. Math. 10 (1957) p.537, 566.
[8]	P.D. LAX	Shock waves and entropy in non linear functional
•		analysis, Proc. Symposium U. of Wisconsin 1971

(Ed. Zarantonello).